

素粒子物理学の進展2012 @ 基研 2012/07/19

Polarization in $\bar{B} \rightarrow D^{(*)}\tau\bar{\nu}$
as a probe for new physics

“Work in progress”

渡邊諒太郎 (大阪大学)

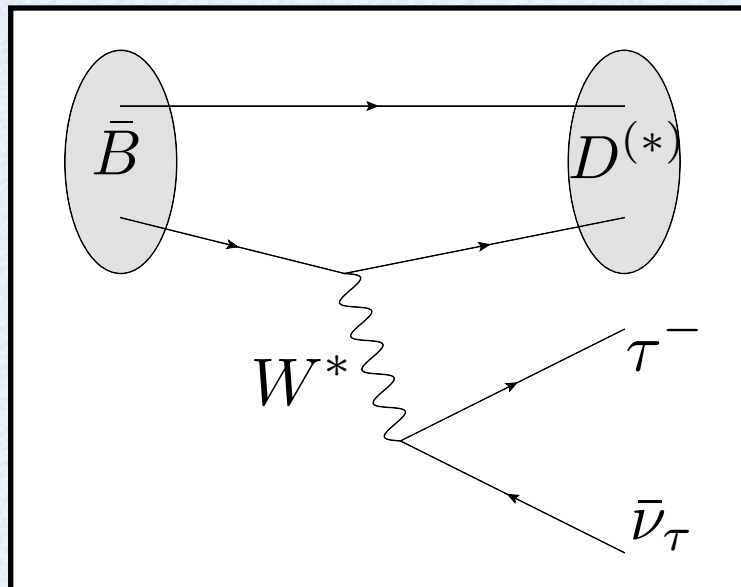
共同研究者：田中実 (大阪大学)

まずははじめに・・・ $\bar{B} \rightarrow D^{(*)}\tau\bar{\nu}$ って・・・

(1) そもそもどういうプロセスだっけ？

標準模型では、

ダイアグラム：



有効ラグランジアン：

$$\mathcal{L}_{\text{eff}} = -2\sqrt{2}G_F V_{cb} \bar{c}_L \gamma^\mu b_L \bar{\tau}_L \gamma_\mu \nu_L$$

中間子の種類：

D =擬スカラー D^* =ベクトル

特徴としては、

B factoryでしか測定出来ない（終状態にニュートリノが二つ以上）

ハドロンの不定性が結構小さい (a few % in SM)

(2)何か問題あったつけ?

$b \rightarrow \tau$ 系のプロセスは実験値がなんか標準模型より大きい

$b \rightarrow c \tau \nu$

	SMの予言	測定値
$\bar{B} \rightarrow D \tau \bar{\nu}$	0.302 ± 0.015	0.43 ± 0.06
$\bar{B} \rightarrow D^* \tau \bar{\nu}$	0.254 ± 0.005	0.33 ± 0.04

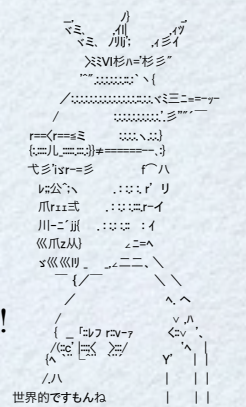
$b \rightarrow u \tau \nu$

$\bar{B} \rightarrow \tau \bar{\nu}$ の $|V_{ub}|$ 問題

* ICHEP2012で
さがったとのほうこくががががが

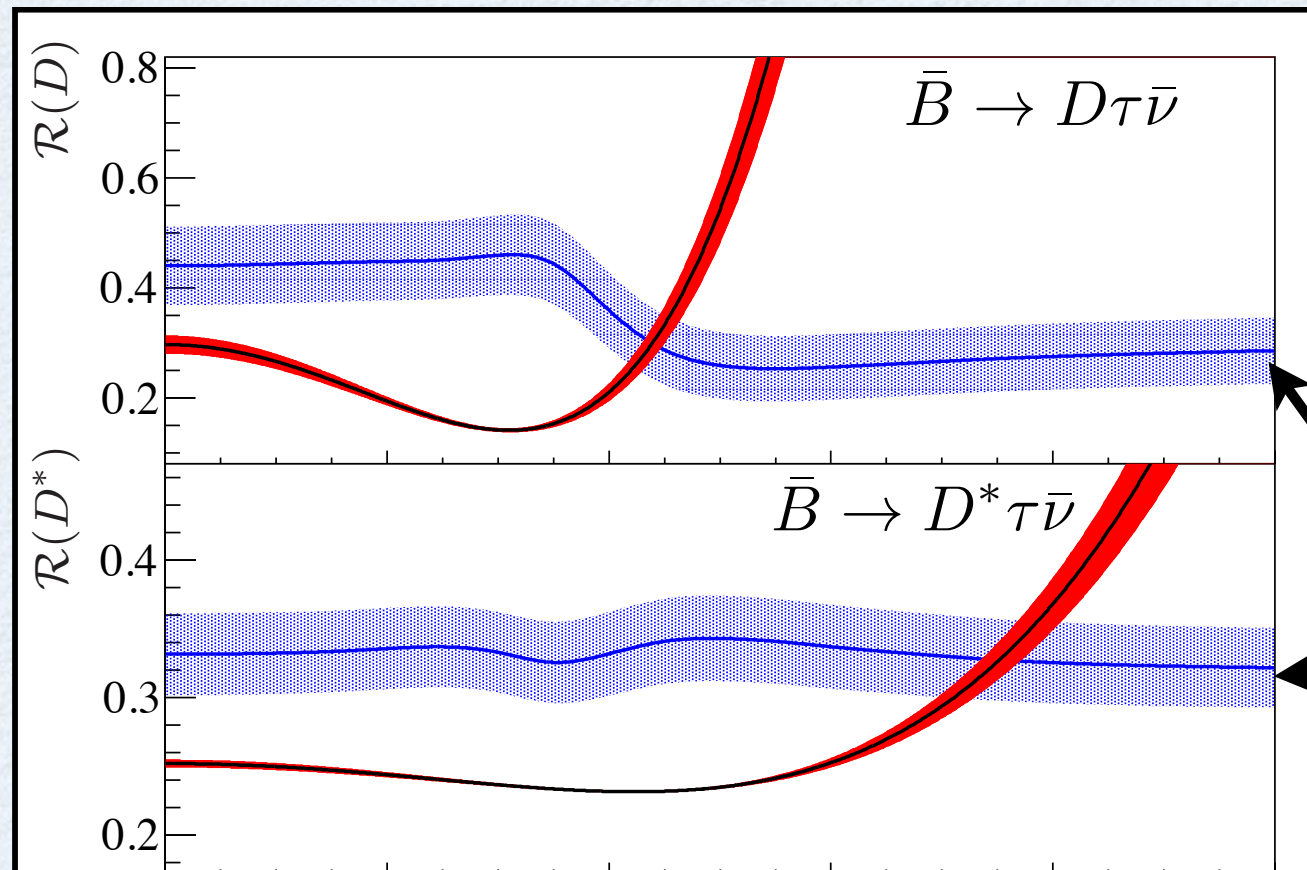
じゃあ荷電ヒッグスの効果が見えてるんじゃね? (嬉)

乗るしかない、
このビッグウェーブに!



荷電ヒッグスはSMと負の干渉を起こすので分岐比は下がってしまう

最新の解析結果 @BABAR, ArXiv:1205.5442



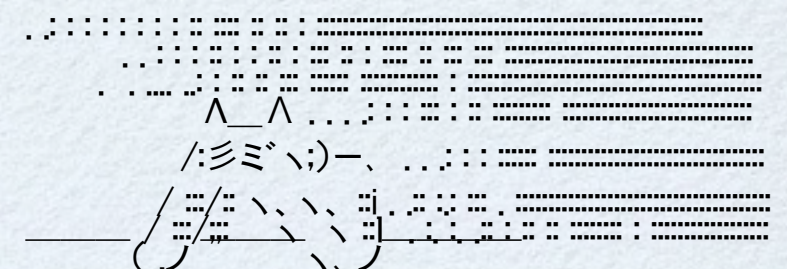
$$R(D) = \frac{\Gamma(\bar{B} \rightarrow D\tau\bar{\nu})}{\Gamma(\bar{B} \rightarrow Dl\bar{\nu})}$$

$$R(D^*) = \frac{\Gamma(\bar{B} \rightarrow D^*\tau\bar{\nu})}{\Gamma(\bar{B} \rightarrow D^*l\bar{\nu})}$$

測定値の誤差
($\pm 1\sigma$)

単純な荷電ヒッグスのモデルは窮地に立たされている（悲）

The measured values of $\mathcal{R}(D)$ and $\mathcal{R}(D^*)$ match the predictions of this particular Higgs model for $\tan\beta/m_{H^+} = 0.44 \pm 0.02$ and $\tan\beta/m_{H^+} = 0.75 \pm 0.04$, respectively. However, the combination of $\mathcal{R}(D)$ and $\mathcal{R}(D^*)$ excludes the type II 2HDM charged Higgs boson with a 99.8% confidence level for any value of $\tan\beta/m_{H^+}$.



この現状を受けて、ここでは何を議論するか

どんな相互作用があれば説明できるか？

1. 模型に依らないセットアップから考えてみる

2. 実際の模型に当てはめて考えてみる

新物理の特徴がもっと分かりやすく現れる物理量はあるか？

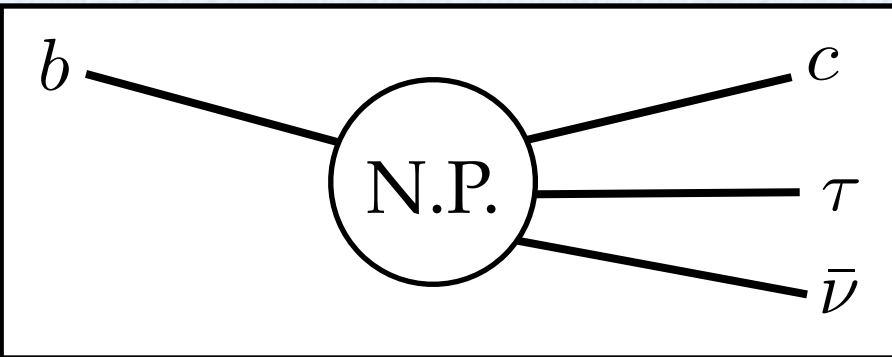
3. タウ粒子やD*粒子の偏極について注目してみる

4. 偏極を用いて何が出来るかを紹介してみる

どんな相互作用があれば説明できるか？

1. 模型に依らないセットアップから考えてみる

セットアップ



$$-\mathcal{L}_{\text{eff}} = 2\sqrt{2}G_F V_{cb} \left[(1 + C_{V_1}) \mathcal{O}_{V_1} + C_{V_2} \mathcal{O}_{V_2} + C_{S_1} \mathcal{O}_{S_1} + C_{S_2} \mathcal{O}_{S_2} + C_T \mathcal{O}_T \right]$$

四点フェルミオン演算子（右巻きニュートリノは無視）

ベクトル 1 (SMと同じ)

$$\mathcal{O}_{V_1} = \bar{c}_L \gamma^\mu b_L \bar{\tau}_L \gamma_\mu \nu_L$$

ベクトル 2 (右巻きクォーク)

$$\mathcal{O}_{V_2} = \bar{c}_R \gamma^\mu b_R \bar{\tau}_L \gamma_\mu \nu_L$$

スカラー 1

$$\mathcal{O}_{S_1} = \bar{c}_L b_R \bar{\tau}_R \nu_L$$

スカラー 2

$$\mathcal{O}_{S_2} = \bar{c}_R b_L \bar{\tau}_R \nu_L$$

テンソル

$$\mathcal{O}_T = \bar{c}_R \sigma^{\mu\nu} b_L \bar{\tau}_R \sigma_{\mu\nu} \nu_L$$

Wilson係数

- SMとの大きさの比として定義
- 一般的に議論するために複素数としておく

$$C_X = |C_X| e^{i\delta_X} \quad (X = V_{1,2}, S_{1,2}, T)$$

それぞれの演算子がどのような寄与を与えるかを見たい

とりあえず、

SMの演算子 + 新しい演算子一つ

で考えていく

分岐比への影響

D=擬スカラー D*=ベクトル

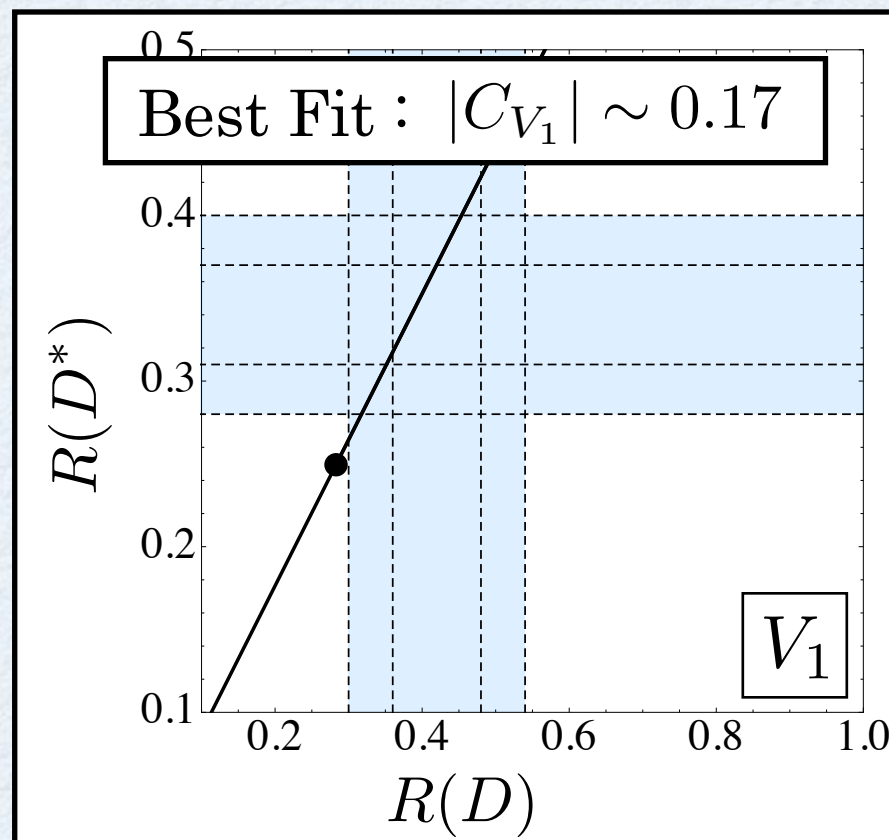
だったので、

$\bar{B} \rightarrow D$ と $\bar{B} \rightarrow D^*$ へ影響を与える度合いが演算子の種類ごとに異なる

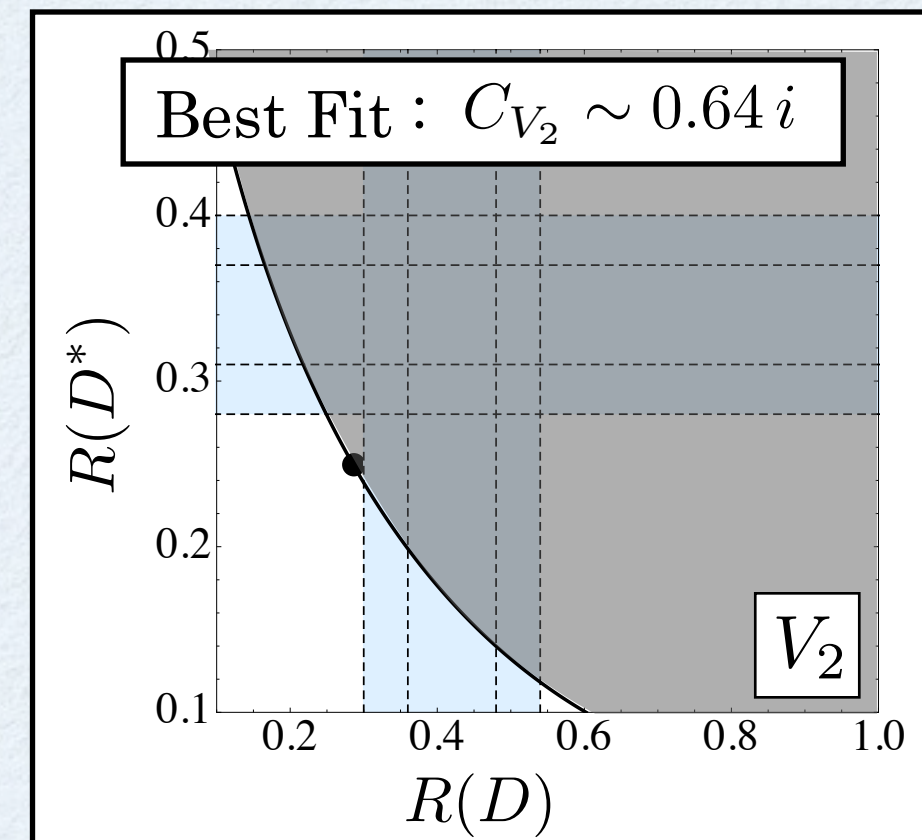
SM + ベクトル

● : SM prediction

$$\mathcal{O}_{V_1} = \bar{c}_L \gamma^\mu b_L \bar{\tau}_L \gamma_\mu \nu_L$$



$$\mathcal{O}_{V_2} = \bar{c}_R \gamma^\mu b_R \bar{\tau}_L \gamma_\mu \nu_L$$



分岐比への影響

D=擬スカラー D*=ベクトル

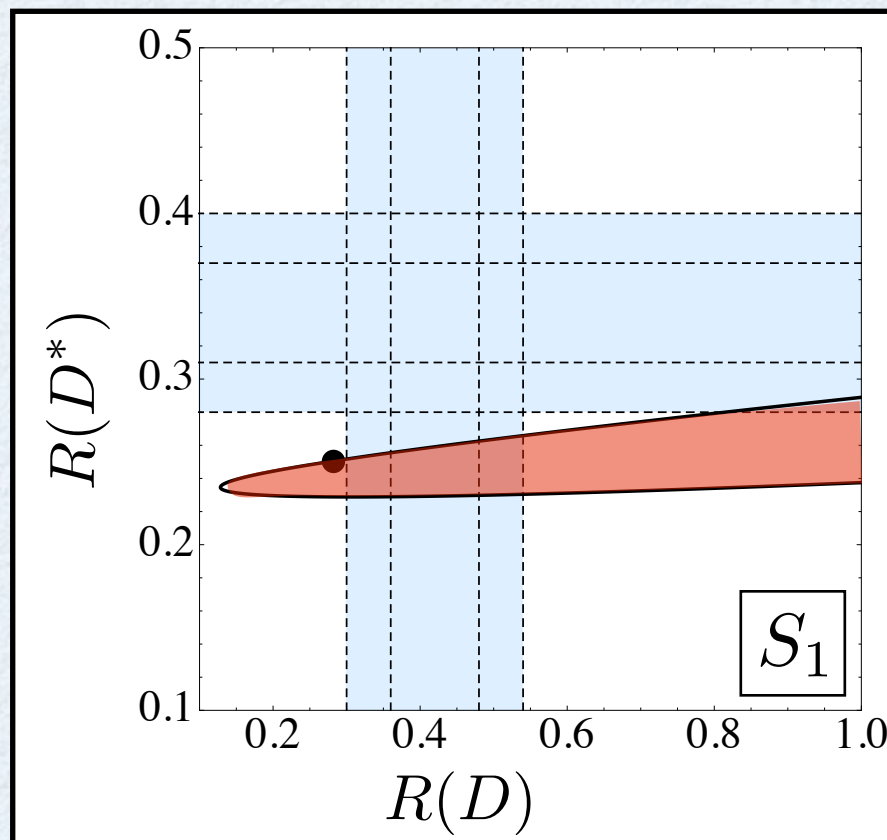
だったので、

$\bar{B} \rightarrow D$ と $\bar{B} \rightarrow D^*$ へ影響を与える度合いが演算子の種類ごとに異なる

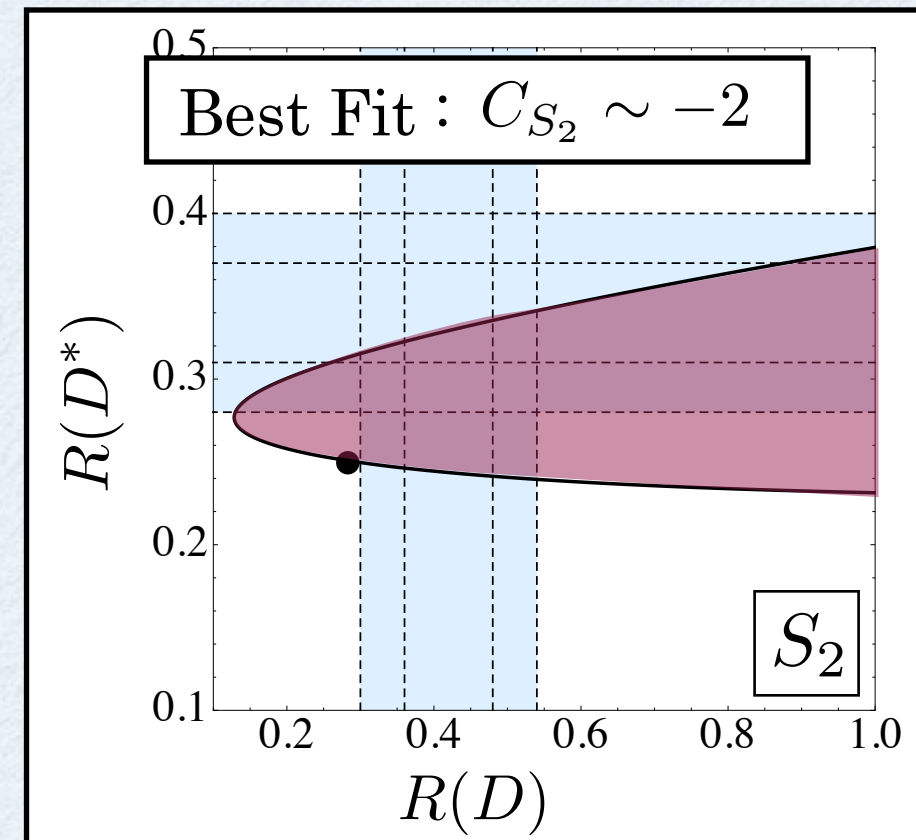
SM + スカラー

● : SM prediction

$$\mathcal{O}_{S_1} = \bar{c}_L b_R \bar{\tau}_R \nu_L$$



$$\mathcal{O}_{S_2} = \bar{c}_R b_L \bar{\tau}_R \nu_L$$



分岐比への影響

D=擬スカラー D*=ベクトル

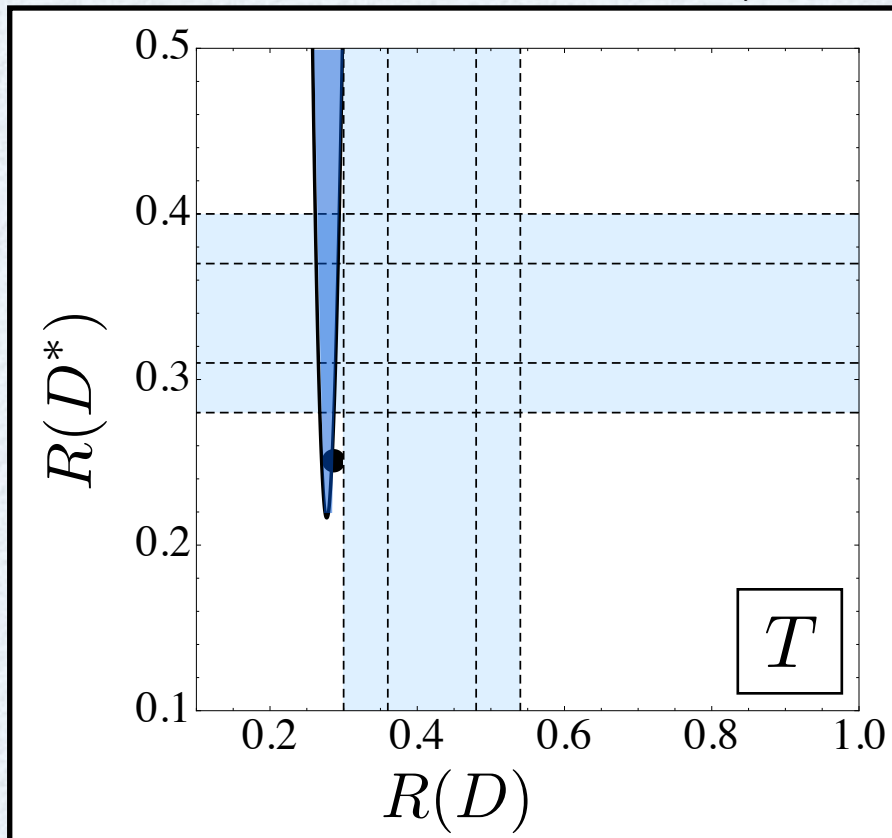
だったので、

$\bar{B} \rightarrow D$ と $\bar{B} \rightarrow D^*$ へ影響を与える度合いが演算子の種類ごとに異なる

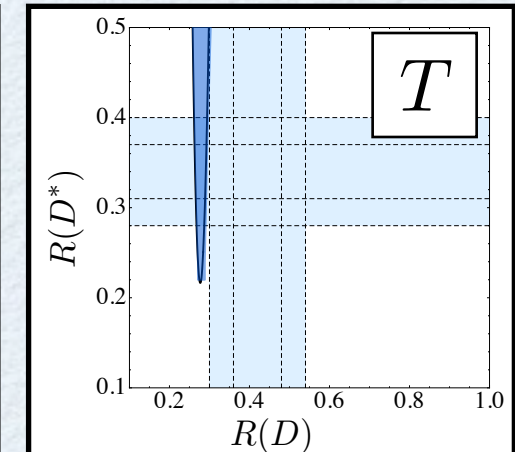
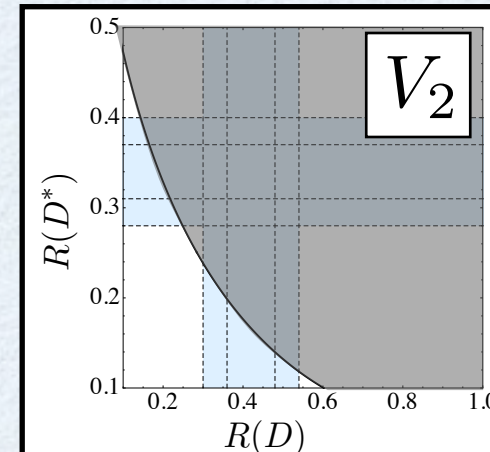
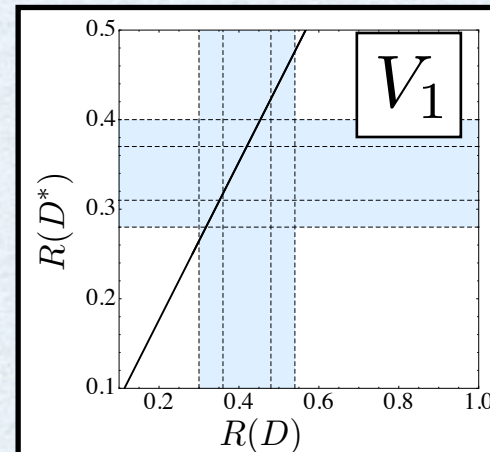
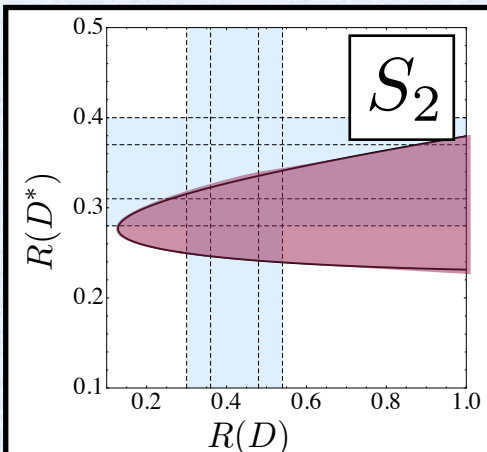
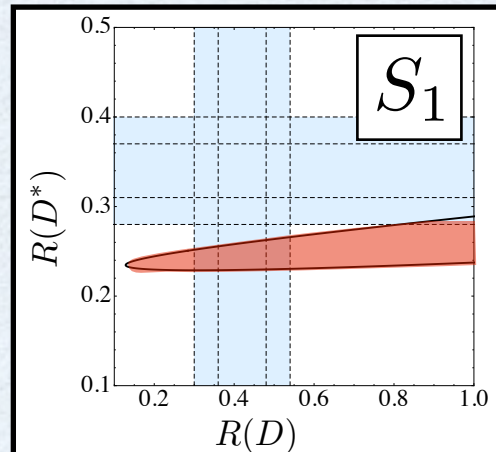
SM + テンソル

● : SM prediction

$$\mathcal{O}_T = \bar{c}_R \sigma^{\mu\nu} b_L \bar{\tau}_R \sigma_{\mu\nu} \nu_L$$



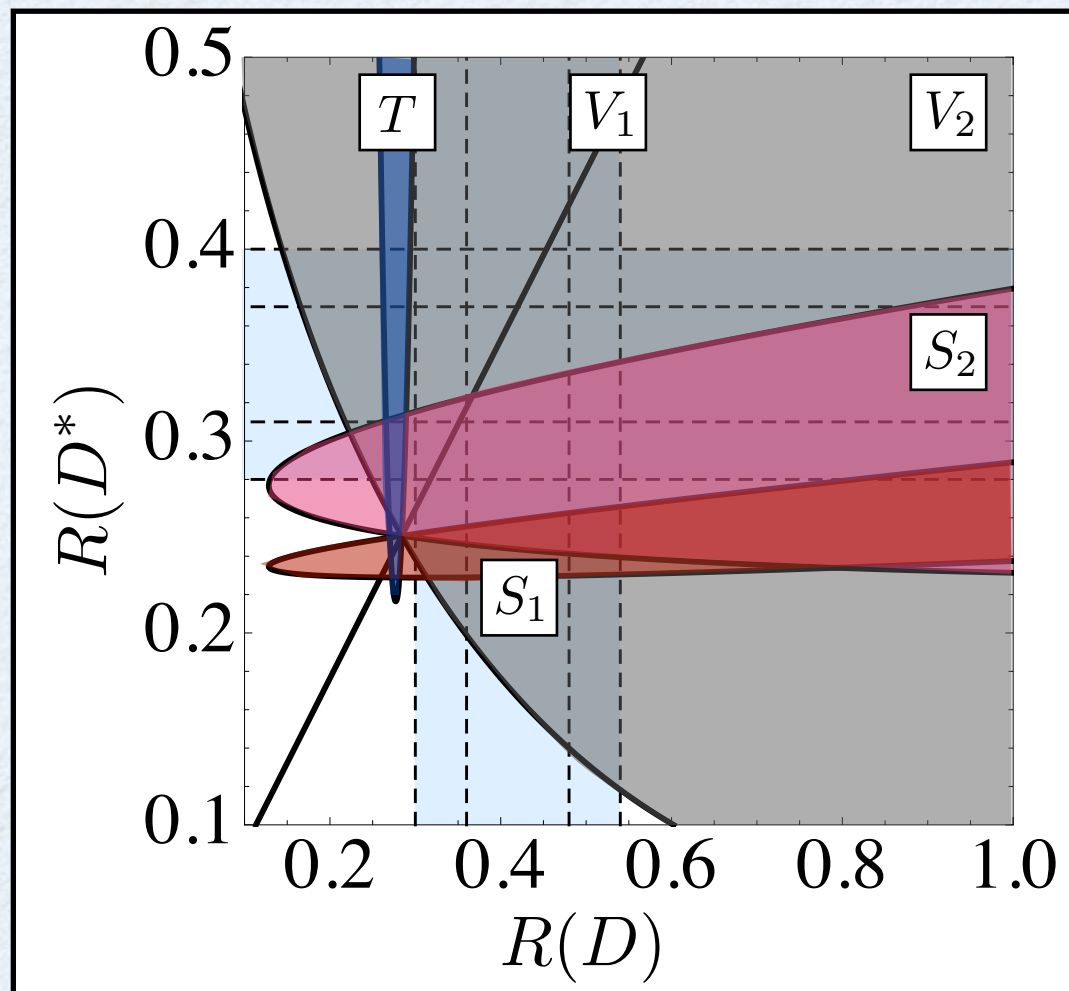
分岐比への影響 (まとめ)



$R(D)$ に影響大

$R(D)$ と $R(D^*)$ で同程度

$R(D^*)$
に影響大



分かったこと

- ・ベクトル系なら両方いい感じ
- ・スカラーは S_2 なら頑張れる
- ・テンソルと S_1 は厳しい

どんな相互作用があれば説明できるか？

2. 実際の模型に当てはめて考えてみる

考えられる模型

2 Higgs Doublet Model (2HDM)

$$C_{S_1} = -\frac{m_b m_\tau}{m_{H^\pm}^2} \xi_d$$

$$C_{S_2} = -\frac{m_c m_\tau}{m_{H^\pm}^2} \xi_u$$

Aoki, Kanemura, Tsumura, Yagyu(2009)

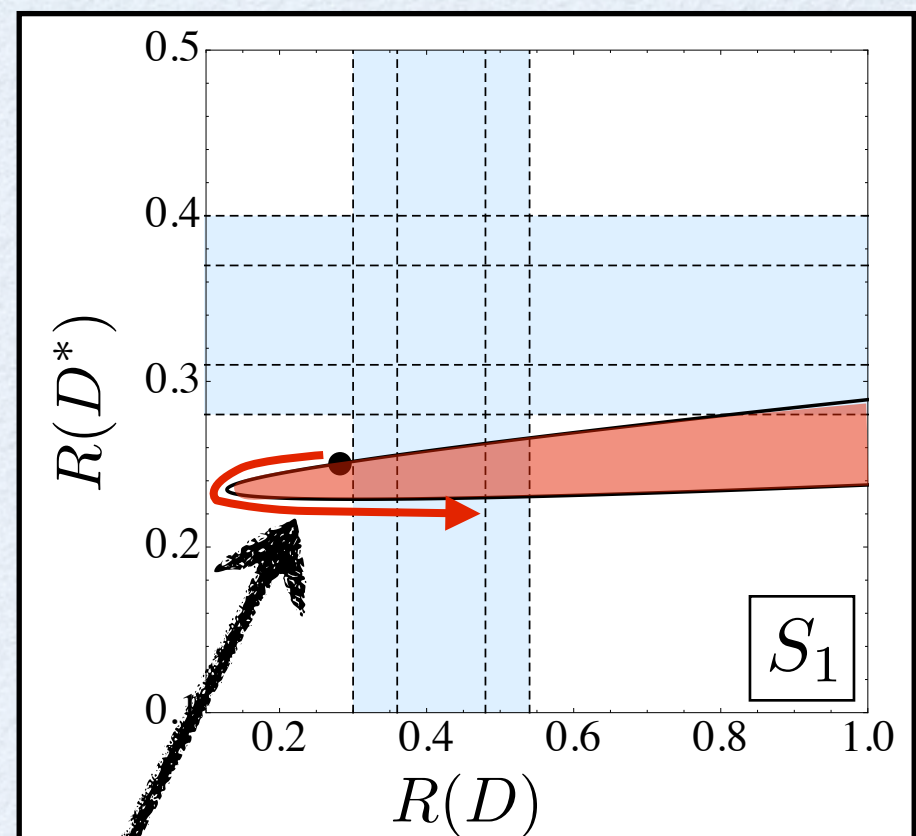
	Type I	Type II	Type X	Type Y
ξ_d	$\cot^2 \beta$	$\tan^2 \beta$	-1	-1
ξ_u	$-\cot^2 \beta$	1	1	$-\cot^2 \beta$

トップ湯川の制限により
 $\cot^2 \beta$ は大きくなれない

可能なのはS1が効く場合
だが、実験値とは合わない

トップ湯川の制限により
 $\cot^2 \beta$ は大きくなれない

実験値を再現するには
荷電ヒッグスの質量が
あまりにも小さすぎる



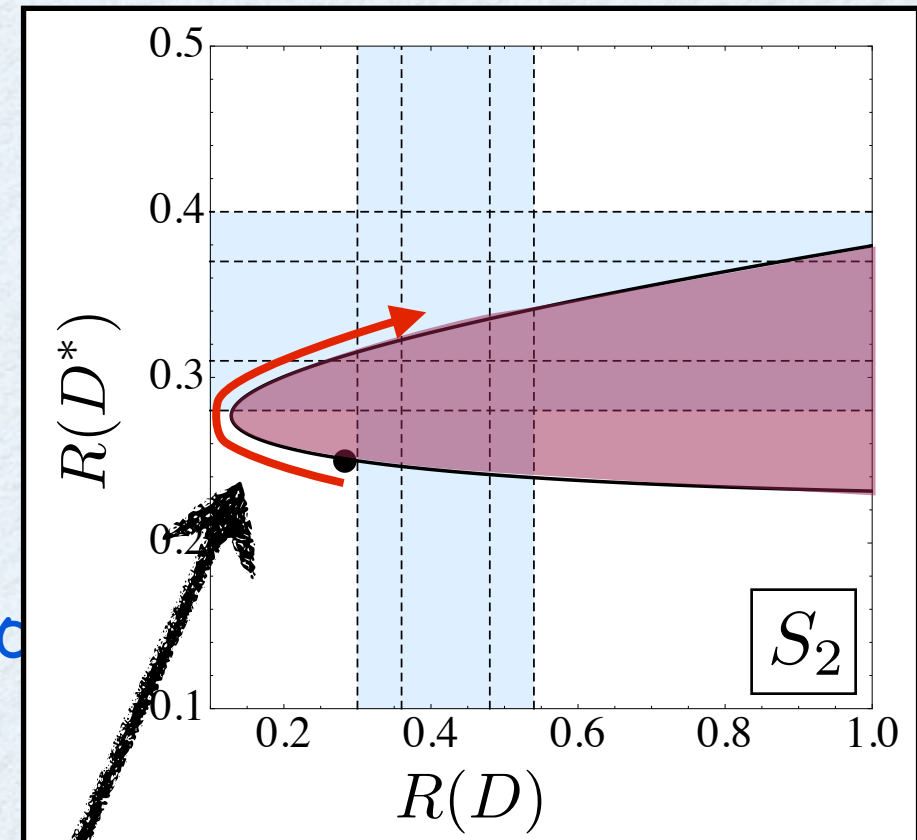
MSSM

※ツリーでは2HDMのtype II

$$C_{S_1} = -\frac{m_b m_\tau}{m_{H^\pm}^2} \cdot \frac{\tan^2 \beta}{(1 + \Delta_e \tan \beta)(1 + \Delta_d \tan \beta)}$$

$$C_{S_2} = -\frac{m_c m_\tau}{m_{H^\pm}^2} \cdot \frac{1}{1 + \Delta_e \tan \beta}$$

Itoh, Komine, C



Δ_e, Δ_d : SUSY粒子のループ補正項 (GluinoやBinoなど)



すぐできる妄想：凄く奇抜な補正ならS2がメインに効いてきて説明できる
($\tan \beta \sim 1$ かつ $\Delta_e \tan \beta \gtrsim -1$ かつ $\Delta_d \tan \beta \gg 1$)

すぐわかる現実：普通のMFVとかじゃ当然無理

(Soft breaking項を自由にすればあるいは)

(^フ現実)フ
()ノ
{}
: ^ _ ^ : c(^ _ ^ ,)
: (nn) . \ /)
: { - / } : { { }

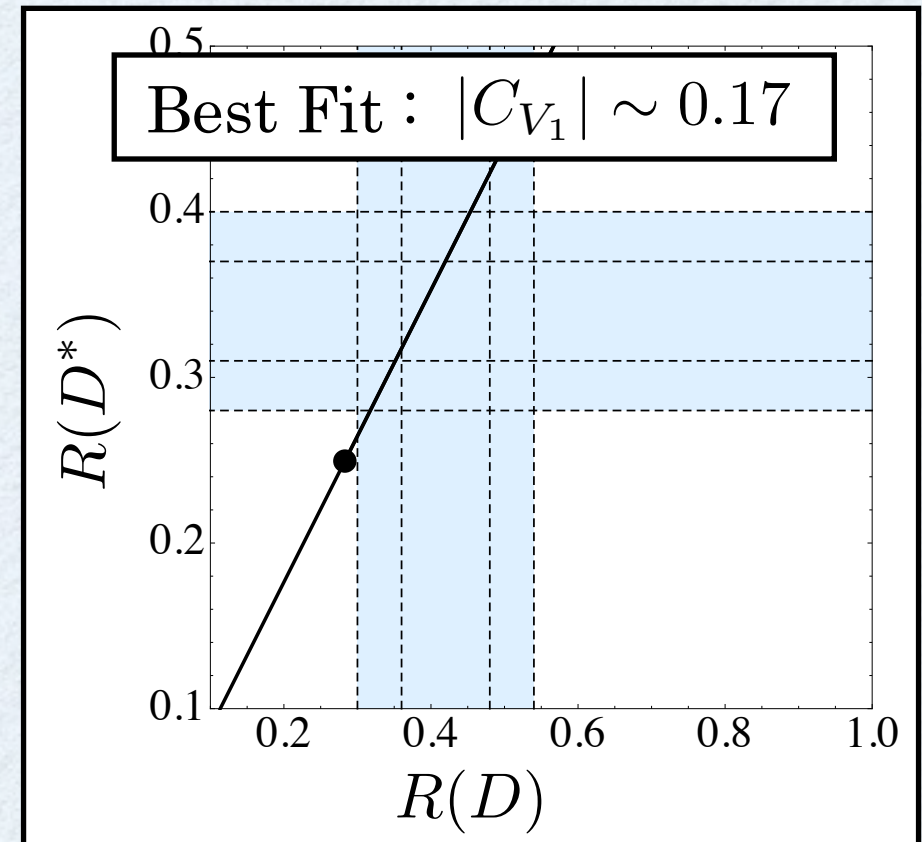
MSSM with R parity violation

$$W_{\text{RPV}} = \frac{1}{2} \lambda_{ijk} L_i L_j E_k^c + \lambda'_{ijk} L_i Q_j D_k^c$$



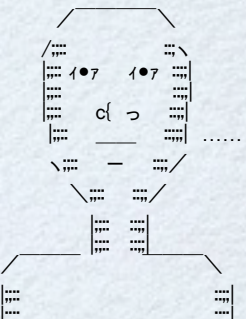
$$2\sqrt{2}G_F V_{cb} C_{S_1} = \sum_{j=1}^3 \frac{\lambda_{3j3} \lambda'^*_j}{2m_{\tilde{l}_L^j}}$$

$$2\sqrt{2}G_F V_{cb} C_{V_1} = - \sum_{j=1}^3 \frac{\lambda'_{33j} \lambda'^*_{32j}}{16m_{\tilde{d}_R^j}}$$



V1が出てる！が、 C_{V_1} のbest fit値を λ' の言葉で読み替えると

$$\left| \sum_{j=1}^3 \lambda'_{33j} \lambda'^*_{32j} \right| \sim 3.9 \quad (m_{\tilde{d}_R} = 1 \text{TeV} \text{ のとき})$$



かんたんなんのまとめ

2 Higgs Doublet Model (2HDM)

S2が大きく効きそうなものは無い

Type IIだとS1の寄与が大きくなり得るが測定値とは合わない

MSSM

超対称粒子のループ補正が鍵になるかも？

ただし単純なSoft breakingでは無理そう

MSSM with R parity violation

V1が出てくるが、測定値を再現するには

大きなRPVのcouplingが必要（他の実験からの制限は無い）

Other model....

V2やS2の寄与が大きく出るような模型があれば教えて下さい

他の物理量を用いて新物理を見る

3. タウ粒子やD*粒子の偏極について注目してみる

謎のズレの原因を特定したい

タウ粒子の偏極

$$P_\tau(D) = \frac{\Gamma^+(D) - \Gamma^-(D)}{\Gamma^+(D) + \Gamma^-(D)}$$

$$P_\tau(D^*) = \frac{\Gamma^+(D^*) - \Gamma^-(D^*)}{\Gamma^+(D^*) + \Gamma^-(D^*)}$$

$\Gamma^\pm(D)$: Decay rate of $\bar{B} \rightarrow D\tau\bar{\nu}$ with Tau helicity $\pm\frac{1}{2}$

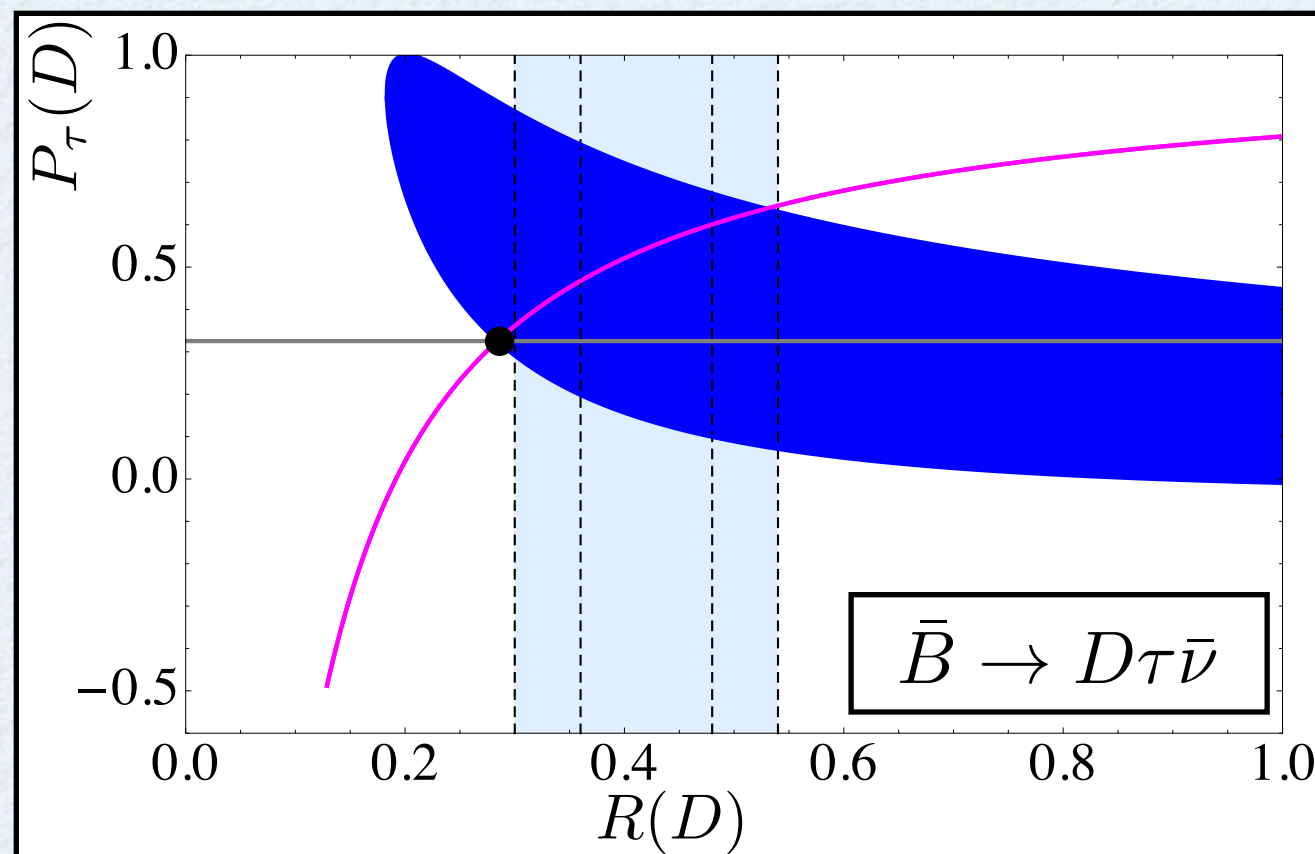
測定可能な量 (詳細略) [Tanaka, Watanabe \(2010\)](#)

D*粒子の偏極

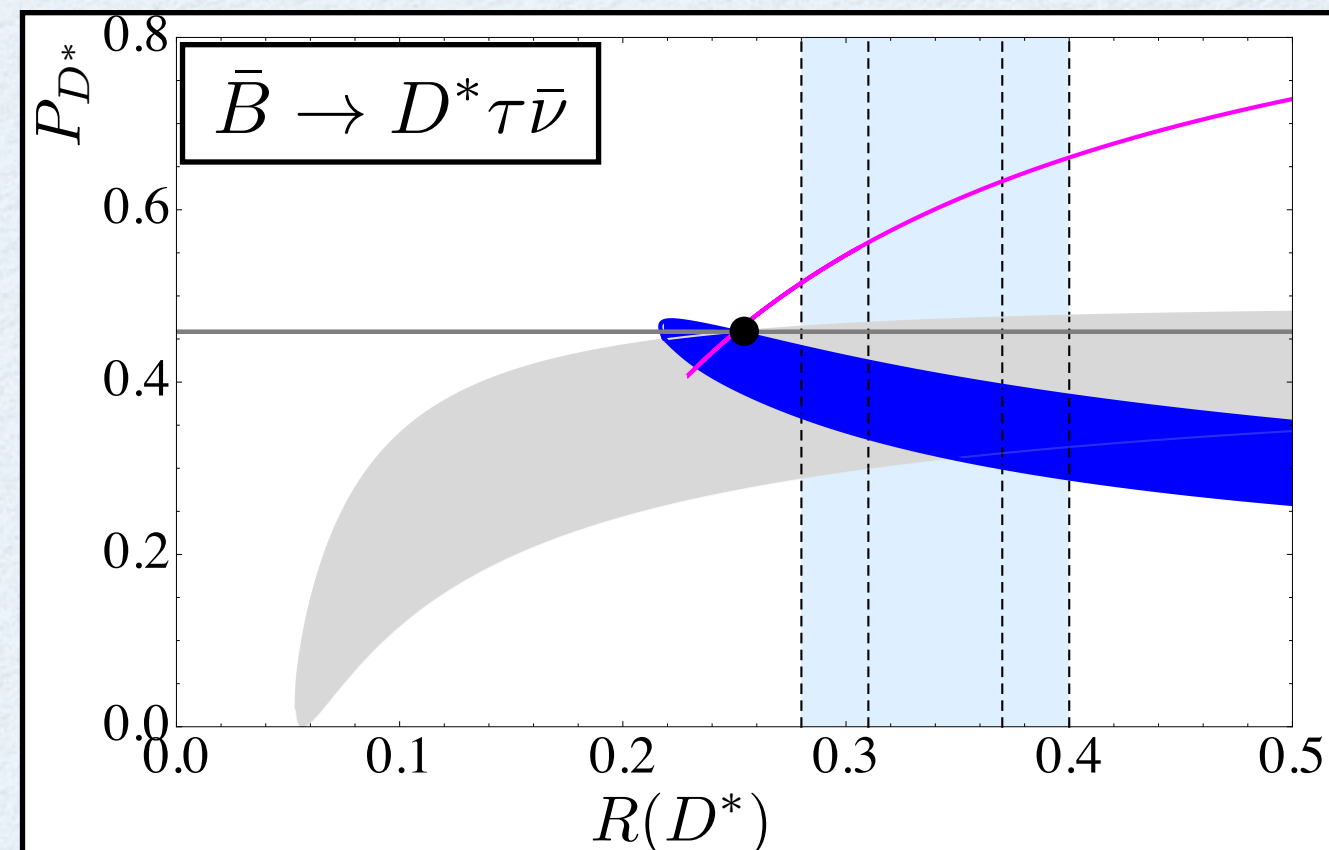
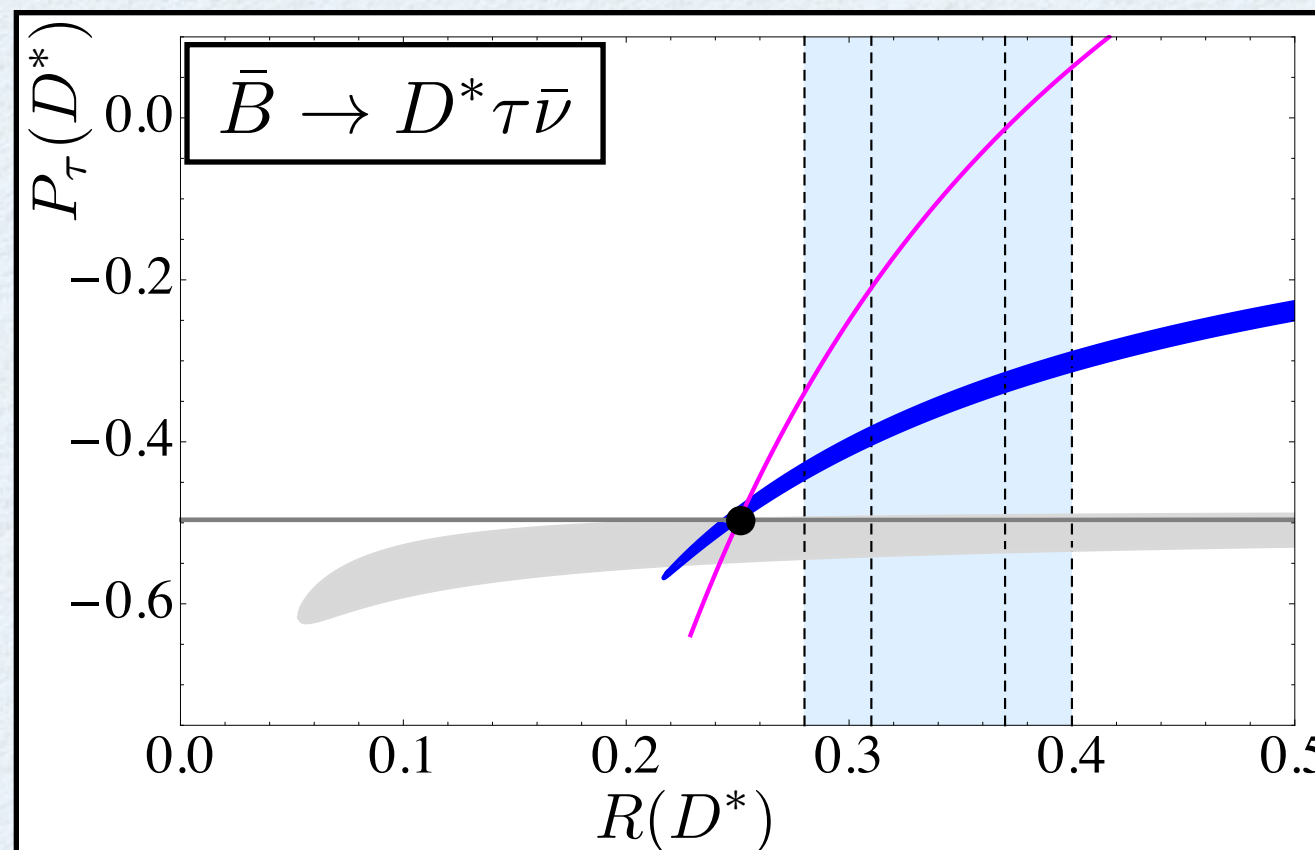
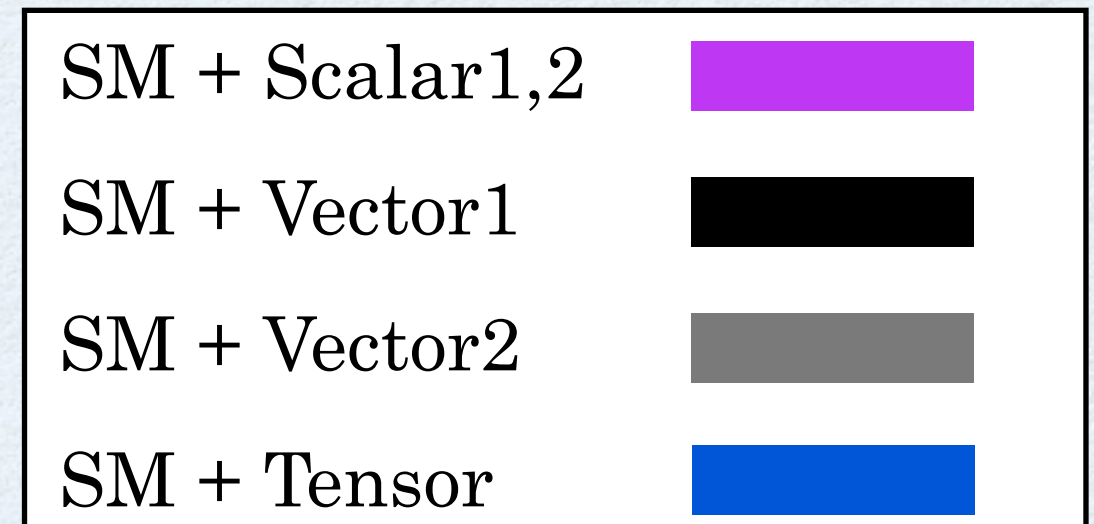
$$P_{D^*} = \frac{\Gamma_L(D^*)}{\Gamma_T(D^*) + \Gamma_L(D^*)}$$

$\Gamma_{T/L}(D^*)$: Decay rate of $\bar{B} \rightarrow D_{T/L}^*\tau\bar{\nu}$

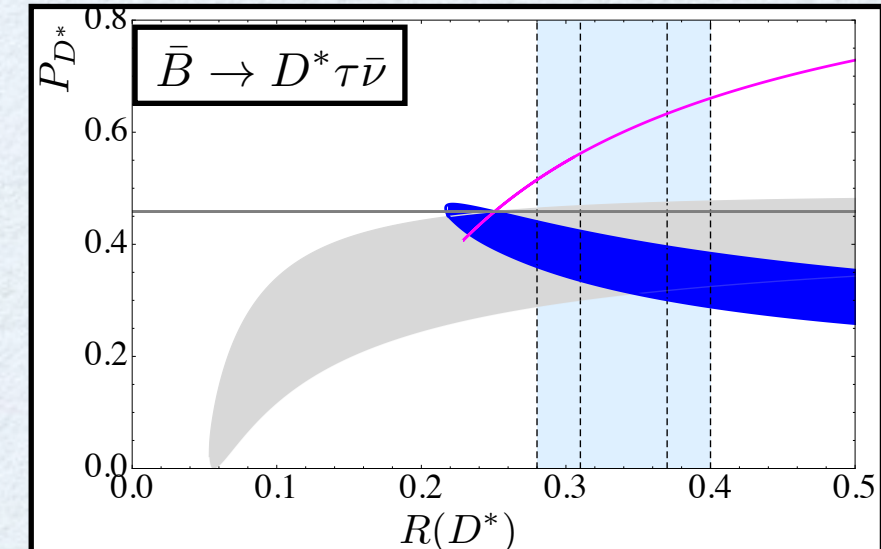
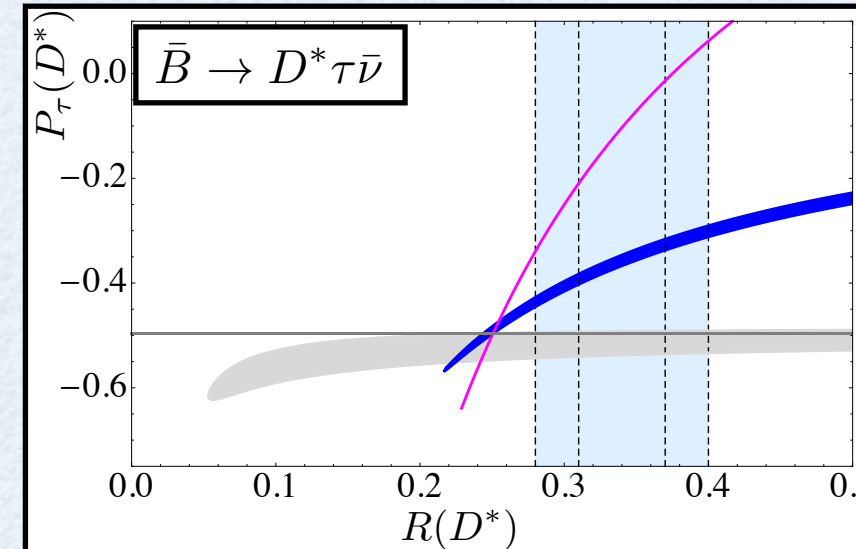
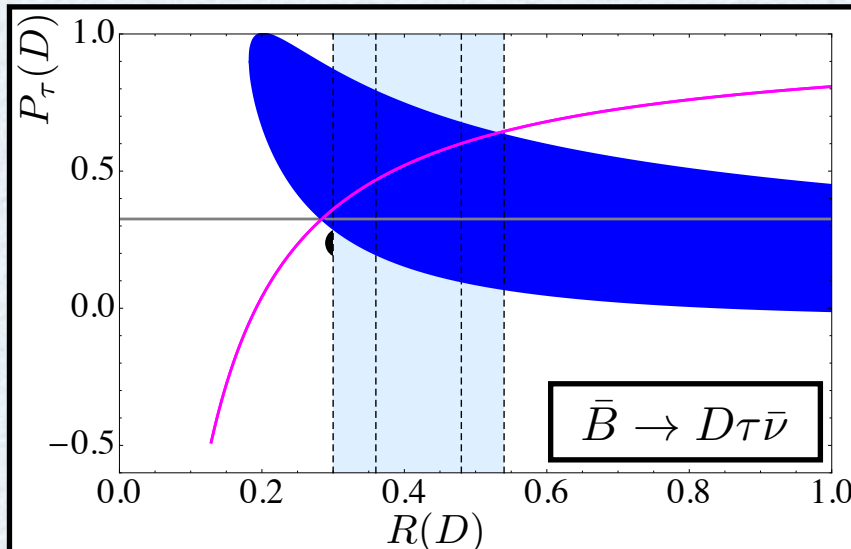
分岐比と偏極の間の関係



● : SM prediction



振る舞いを考察してみる



SM + Scalar1

$\Gamma^-(D), \Gamma^-(D^*), \Gamma_T(D^*)$: スカラーの寄与が無い

SM + Scalar2

→ $R \propto \frac{1}{1 - P}$

SM + Vector1

$\Gamma^\pm(D), \Gamma^\pm(D^*), \Gamma_{T/L}(D^*)$: 全体の係数が変わるもの

SM + Vector2

$(\bar{B} \rightarrow D \tau \bar{\nu})$

→ 偏極は標準模型と同じになる

SM + Vector2

$(\bar{B} \rightarrow D^* \tau \bar{\nu})$

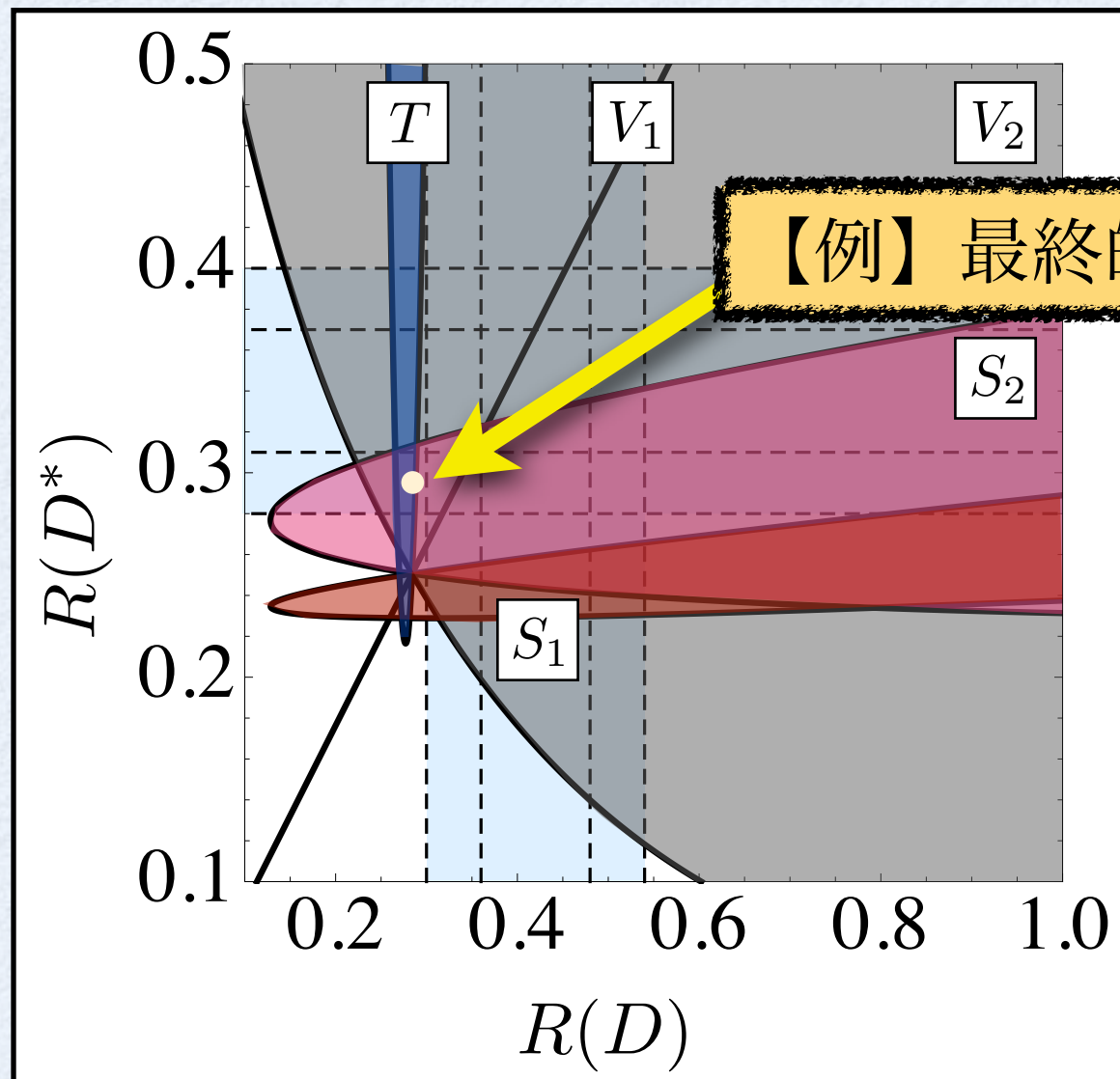
特になし

SM + Tensor

他の物理量を用いて新物理を見る

4. 偏極を用いて何が出来るかを紹介してみる

分岐比だけを見ていても出来ない事



※新物理は一種類という
仮定のときのお話です

この分岐比を再現するのは、

$$C_{V_2} \simeq -0.06 + i 0.31$$

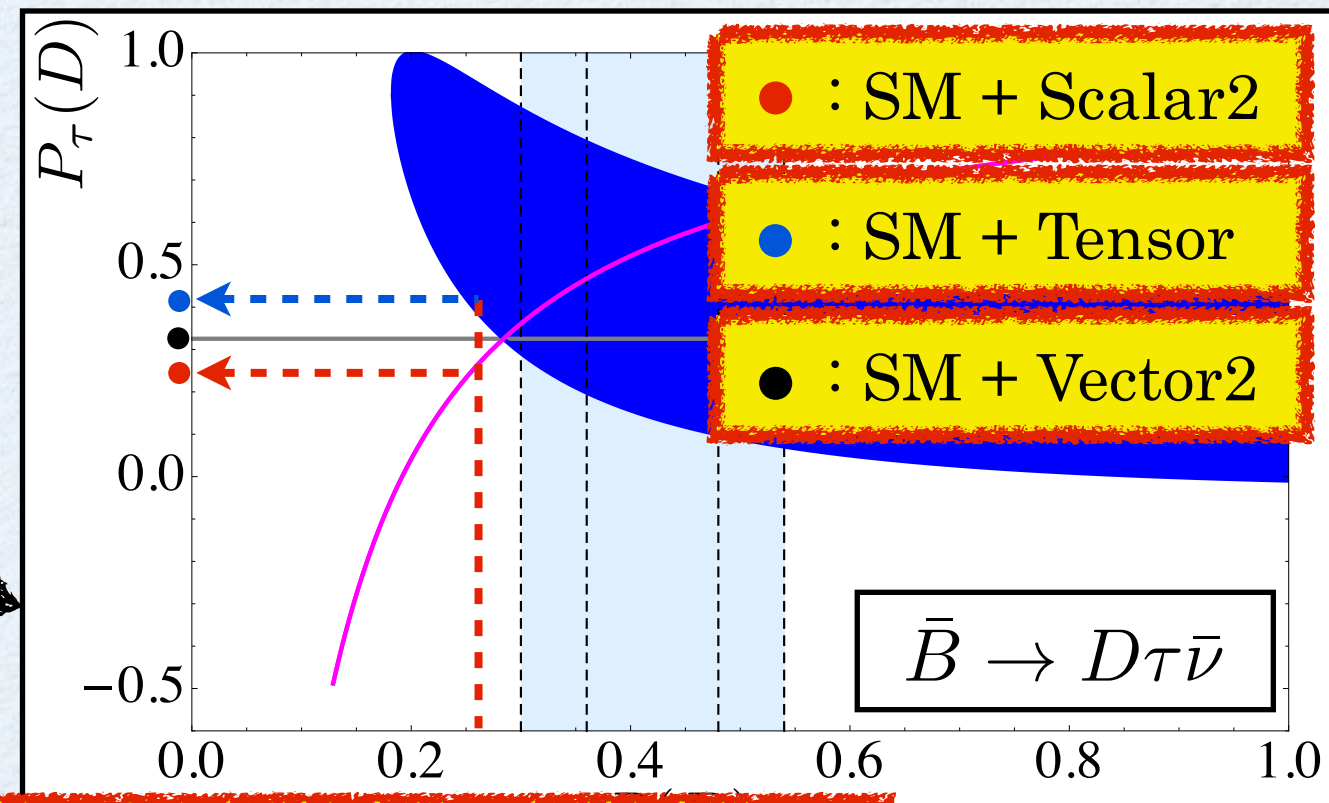
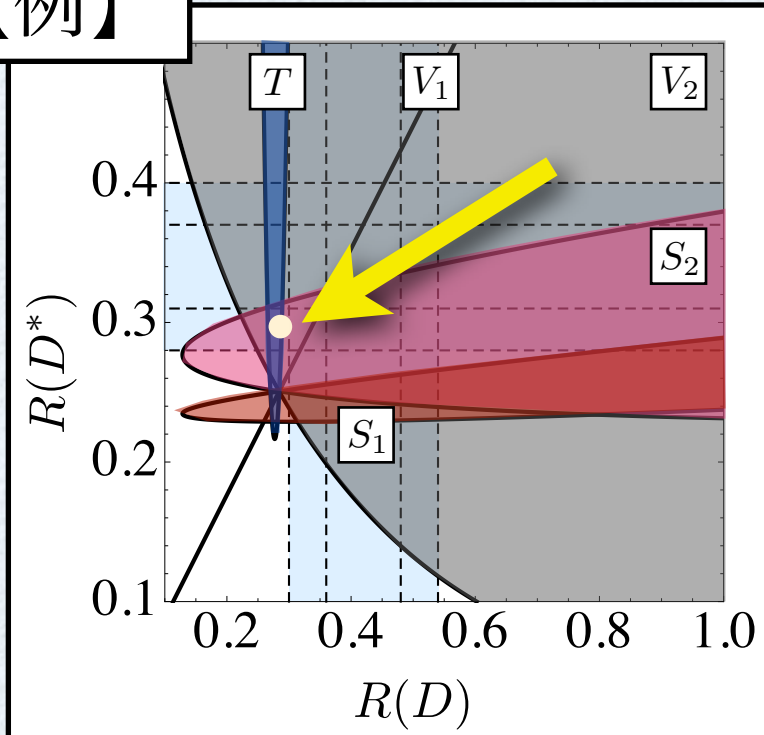
$$C_{S_2} \simeq -1.3 + i 0.7$$

$$C_T \simeq -0.015 + i 0.036$$

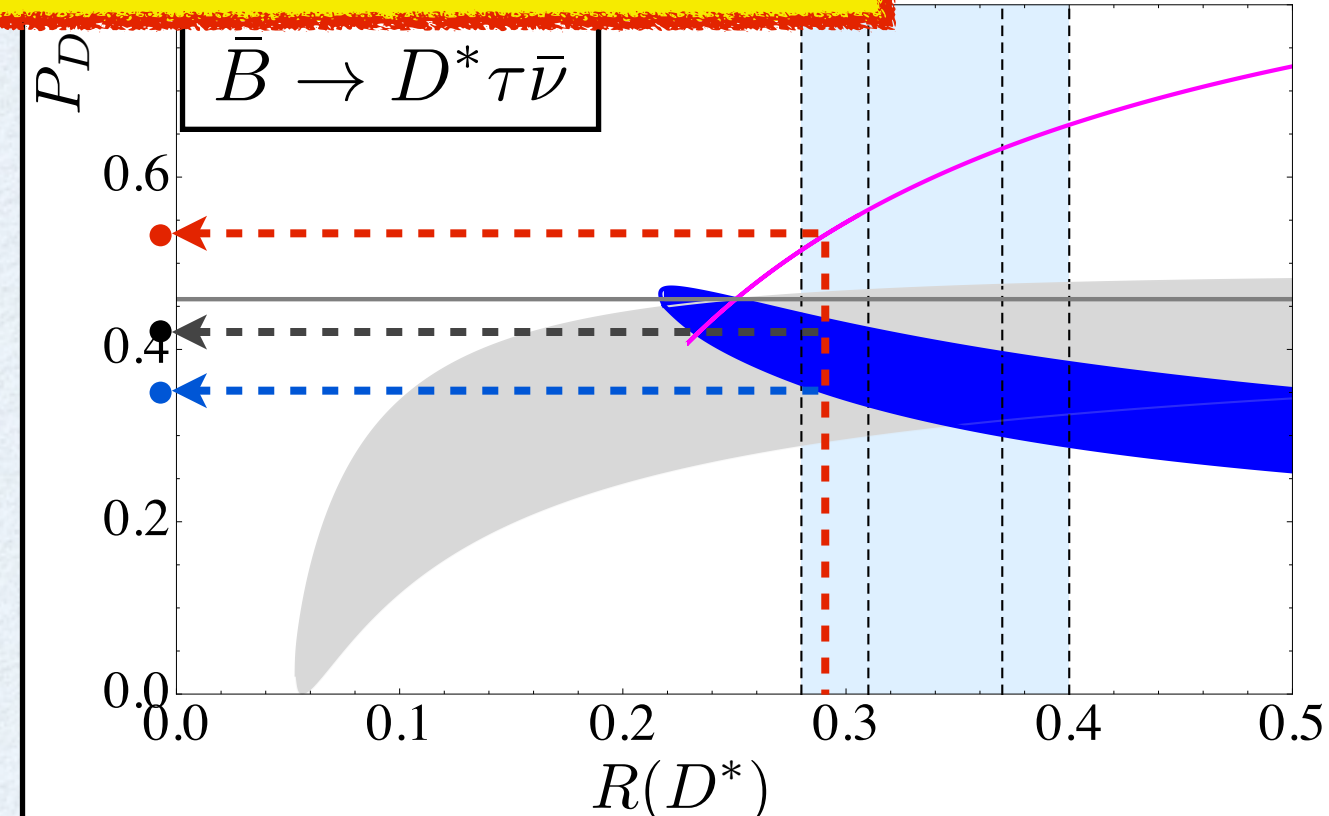
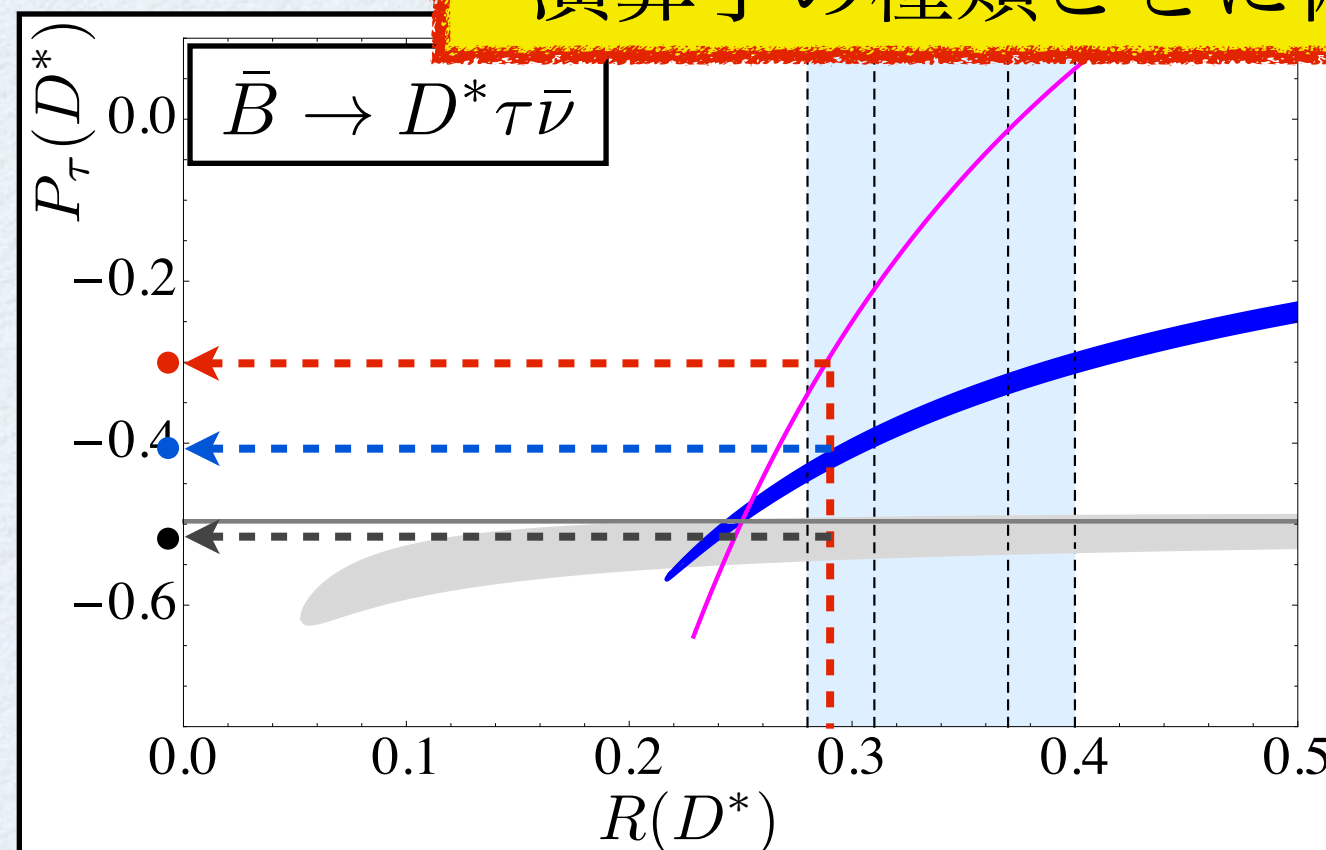
のどれか、までしか分からない

効いてる演算子を見分ける！

【例】

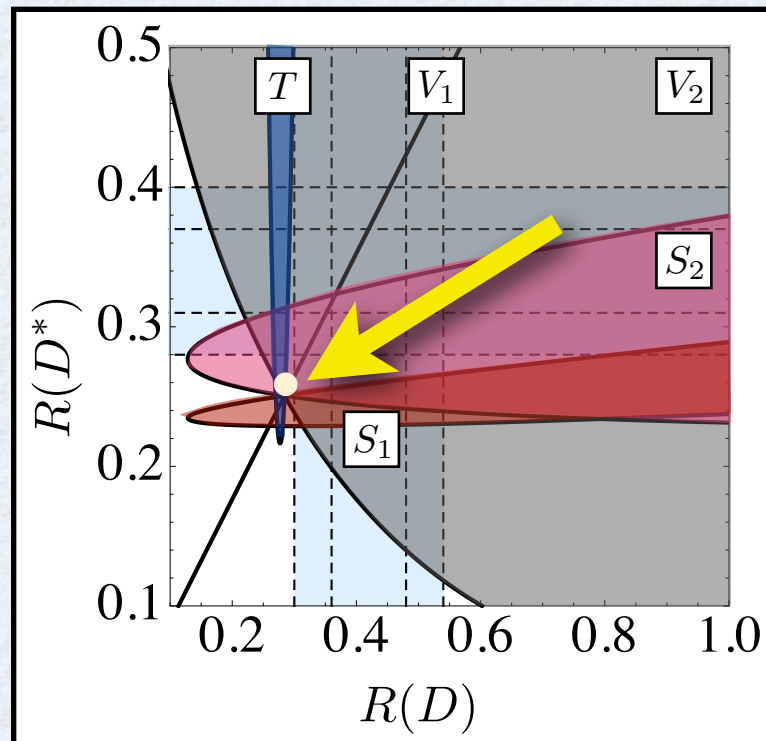


演算子の種類ごとに偏極の予言値が異なる



かんたんなんのまとめ

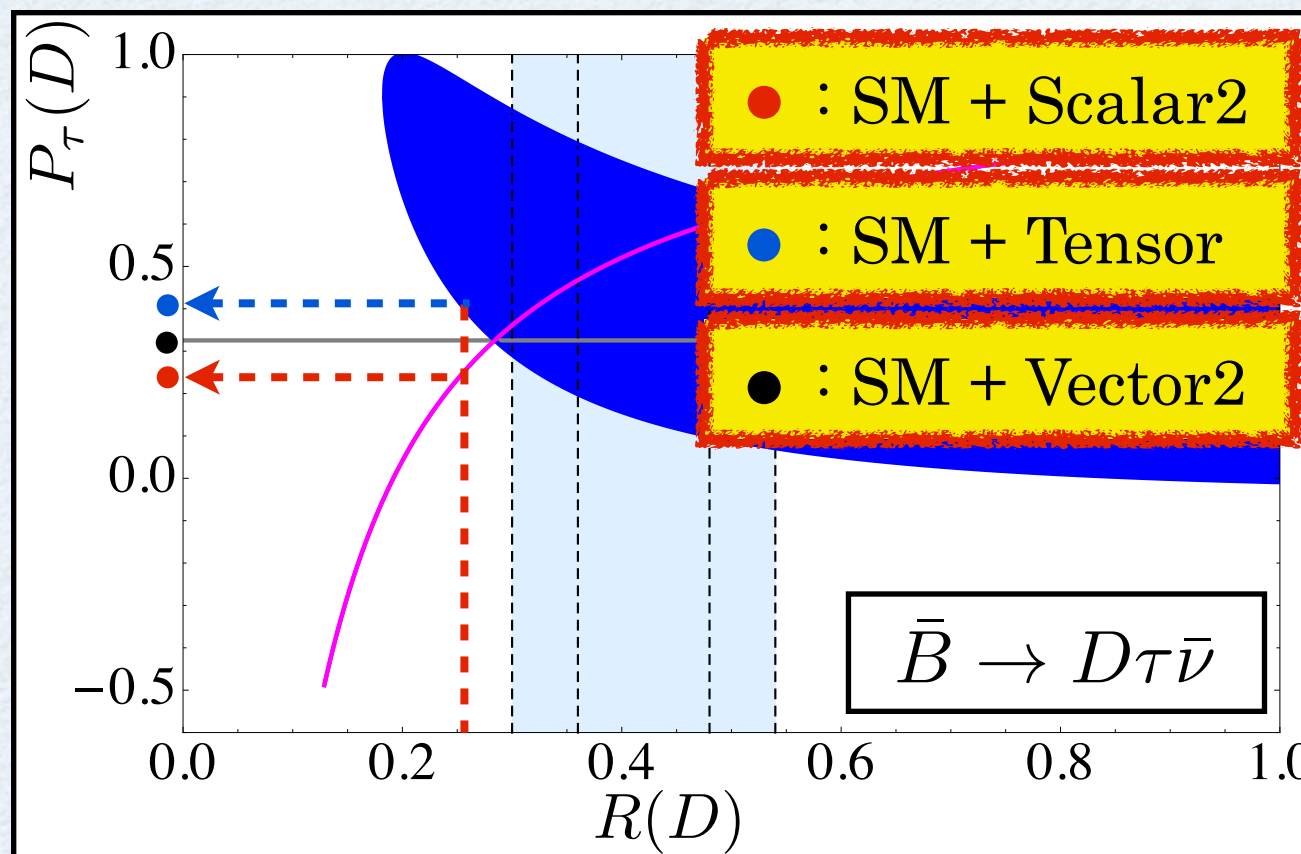
偏極を見れば、効いてる演算子を見分ける事ができるかも？



$$C_{V_2} \simeq -0.06 + i 0.31 \text{ or}$$

$$C_{S_2} \simeq -1.3 + i 0.7 \text{ or}$$

$$C_T \simeq -0.015 + i 0.036 ?$$



偏極測ればOK

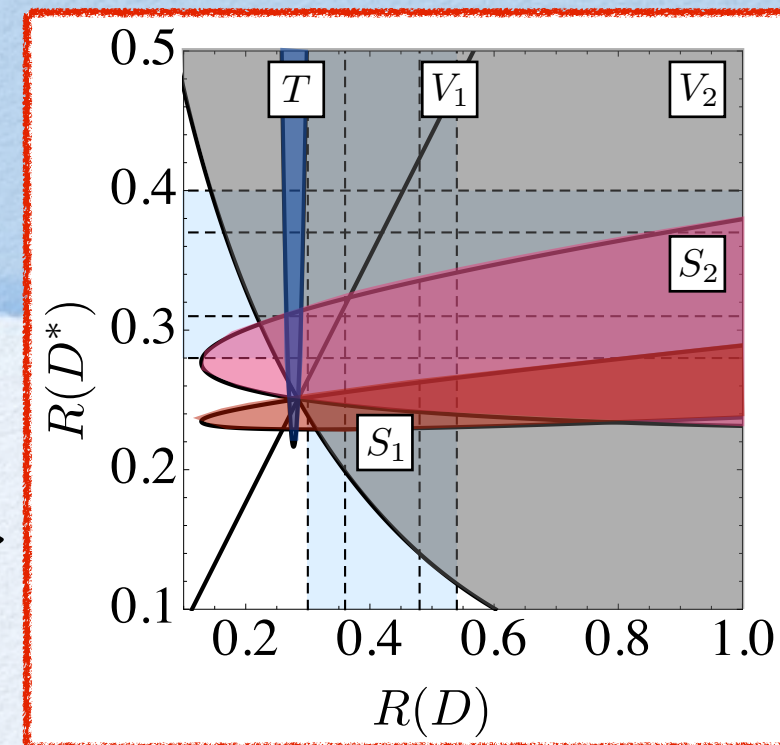
結論・まとめ

どんな相互作用があれば説明できるか？

1. 模型に依らないセットアップから考えてみる

2. 実際の模型に当てはめて考えてみる

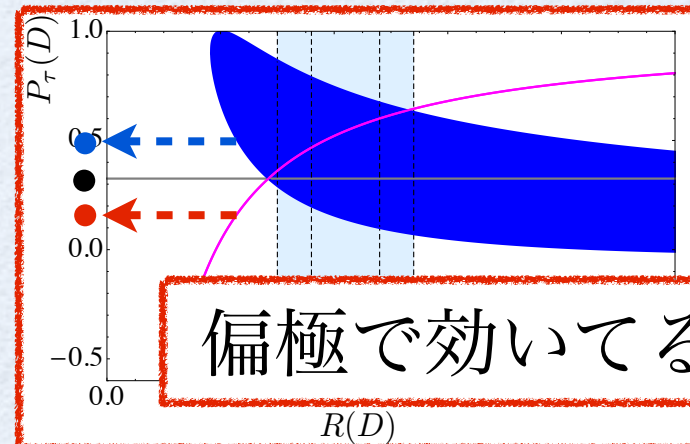
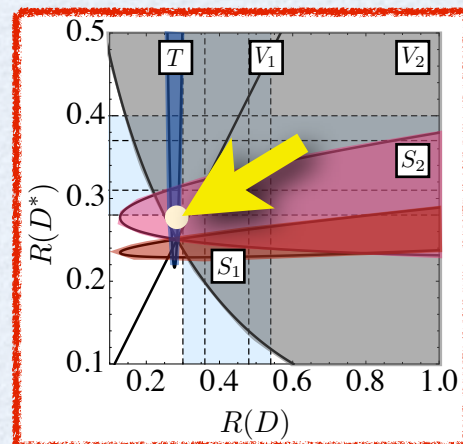
しつくりくる模型が無さそう？



新物理の特徴がもっと分かりやすく現れる物理量はあるか？

3. タウ粒子やD*粒子の偏極について注目してみる

4. 偏極を用いて何ができるかを紹介してみる



偏極で効いてる演算子の区別がつくかも

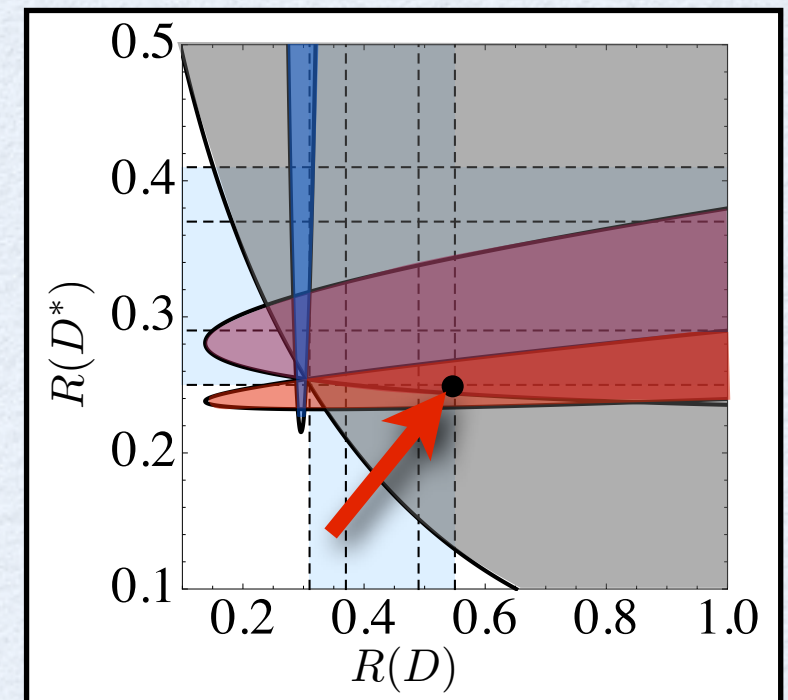
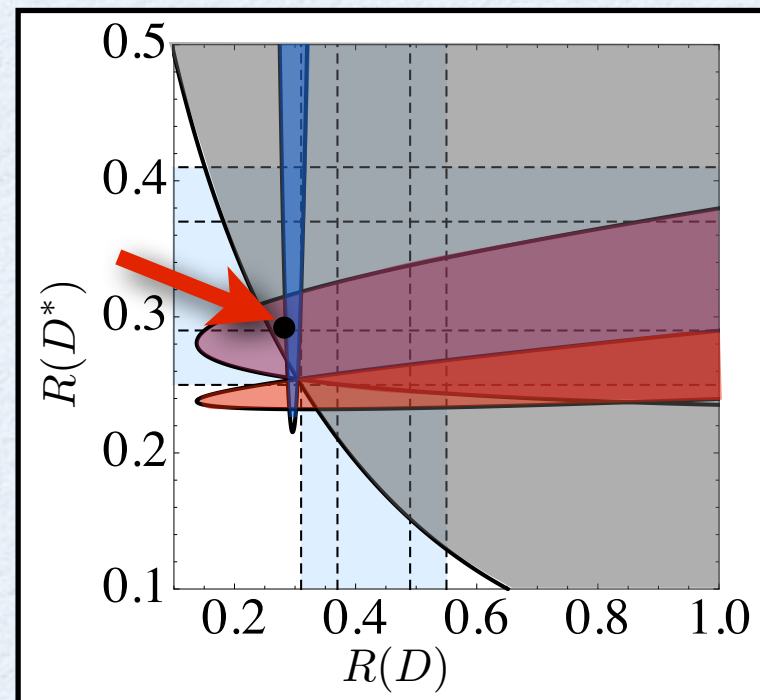
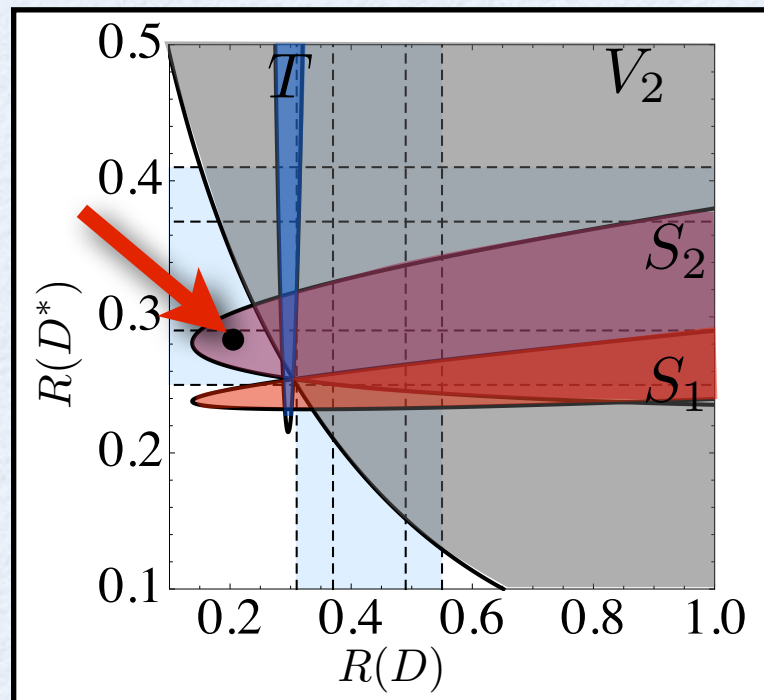
糸冬

制作・著作 NABE

Back up

Analysis : summary (1) + (2)

Three particular situations



Completely
distinguished

This can be the case for
S2

Partly
distinguished (1)

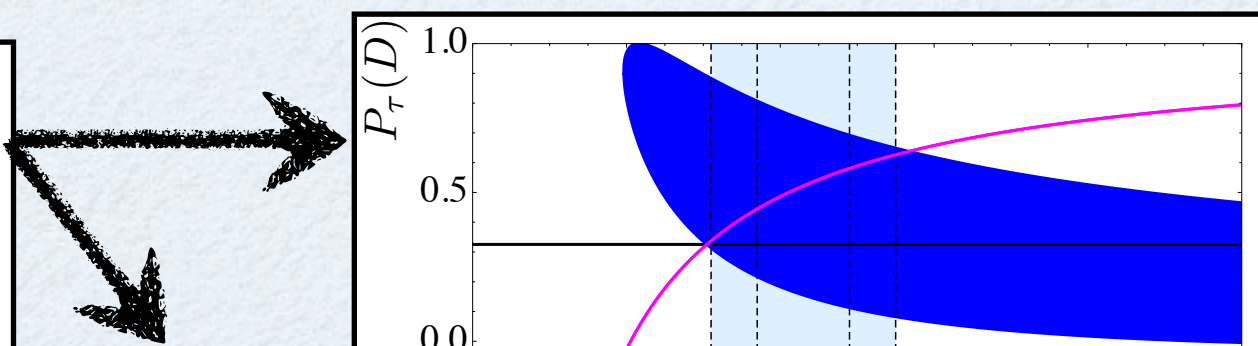
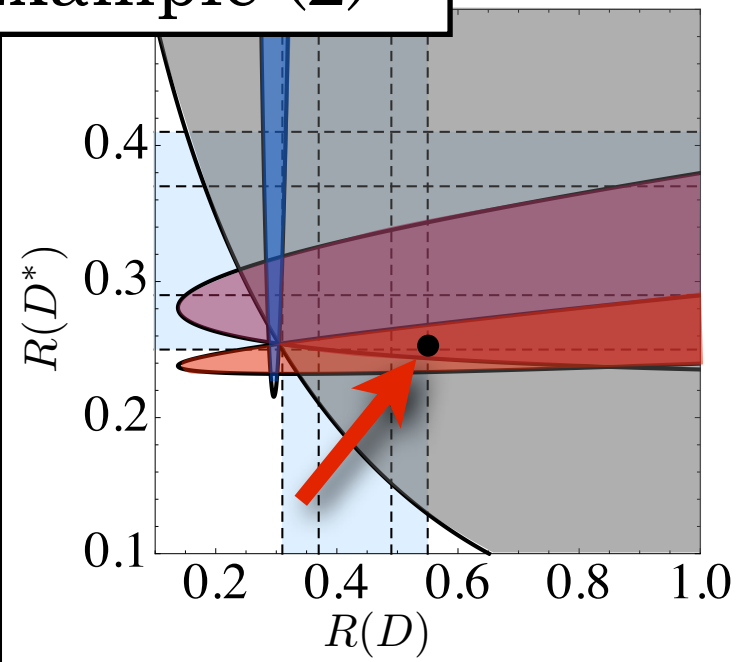
This can be the case for
S2, V2, or T

Partly
distinguished (2)

This can be the case for
S1, S2, or V2

Partly distinguished by $R(D)$ and $R(D^*)$

Example (2)

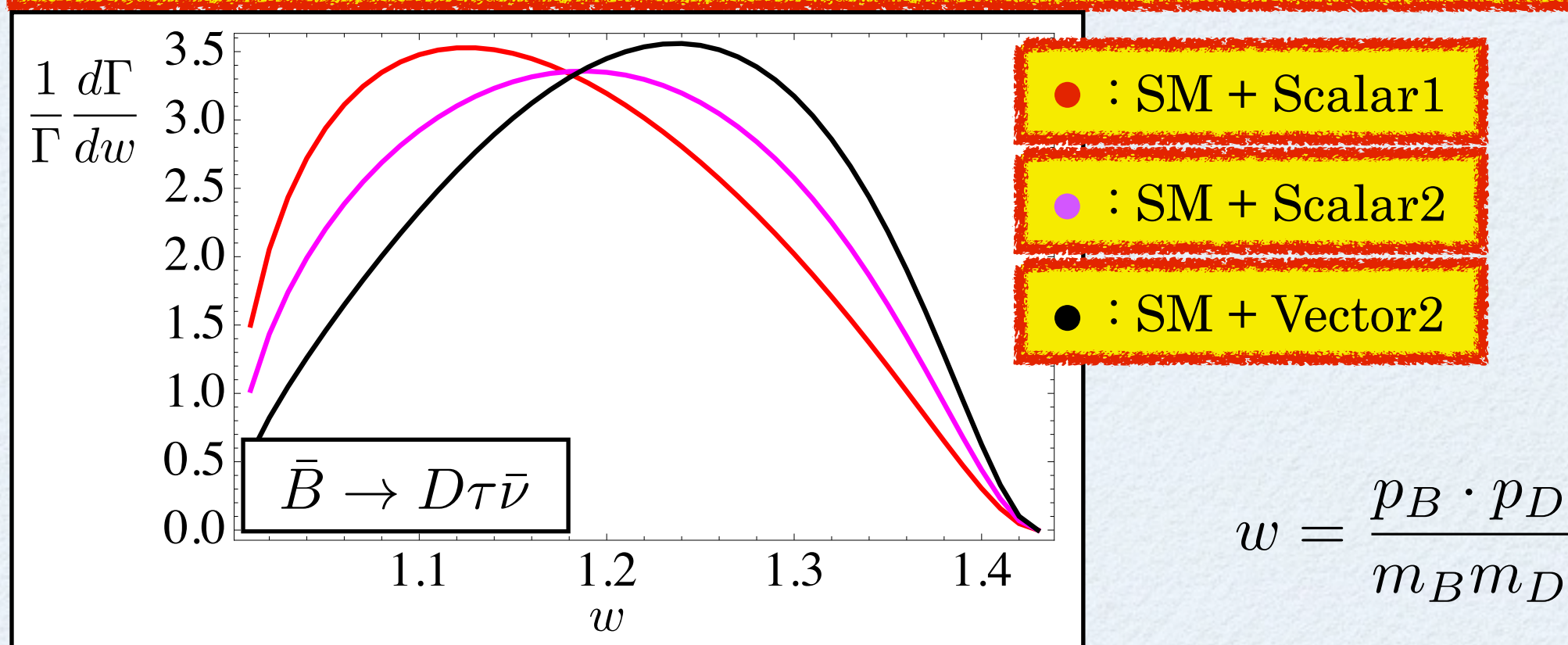


$$|C_{S_1}| \simeq 1.6, \delta_{S_1} \simeq 2.2$$

$$|C_{S_2}| \simeq 0.7, \delta_{S_2} \simeq 1.1$$

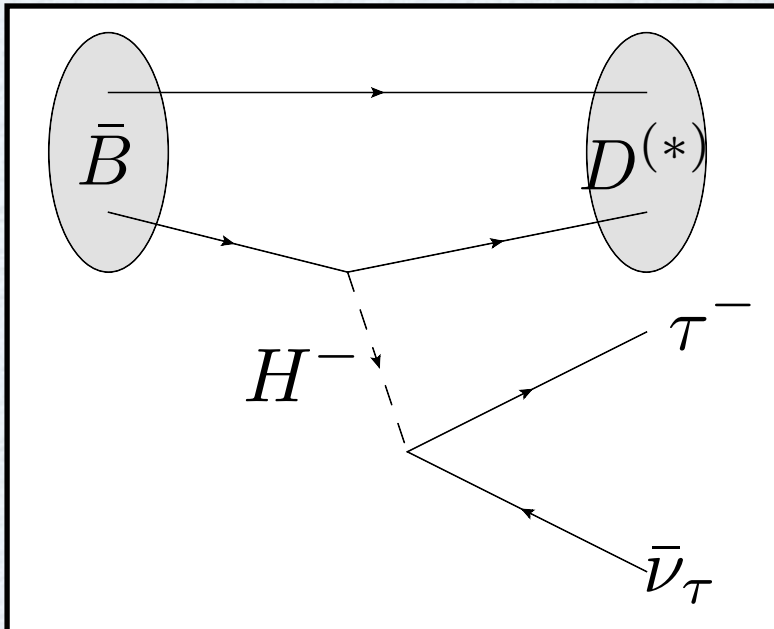
But, Wilson coefficients are different
in the case between S1 and S2

Therefore, decay distribution have different shape between them

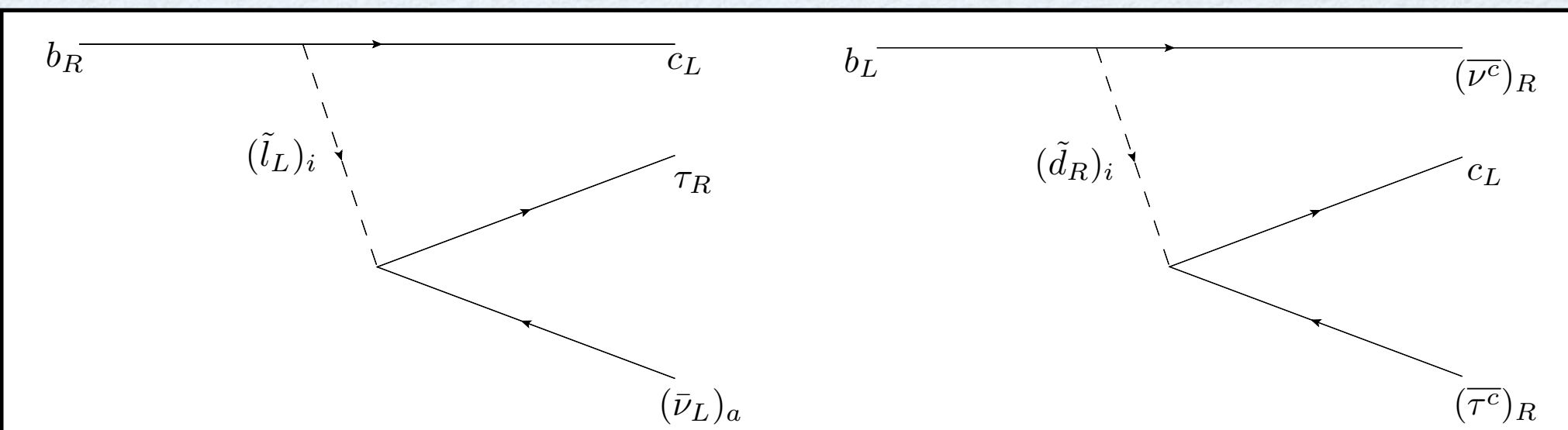


Possible new physics models

Ex.1 : Charged Higgs



Ex.2 : MSSM with R parity violation



MSSM ※ツリーでは2HDMのtype II

$$C_{S_1} = -\frac{m_b m_\tau}{m_{H^\pm}^2} \cdot \frac{\tan^2 \beta}{(1 + \Delta_e \tan \beta)(1 + \Delta_d \tan \beta)}$$

$$C_{S_2} = -\frac{m_c m_\tau}{m_{H^\pm}^2} \cdot \frac{1}{1 + \Delta_e \tan \beta}$$

Itoh, Komine, Okada (2010)

$$\Delta_e = \frac{m_Z^2 - m_W^2}{4v^2 \pi^2} \mu M_{\tilde{B}} f(M_{\tilde{B}}, M_{\tilde{L}_L}, M_{\tilde{L}_R})$$

$$\Delta_d = \frac{2\alpha_s}{3\pi} \mu^* M_{\tilde{g}} f(M_{\tilde{g}}, M_{\tilde{D}_L}, M_{\tilde{D}_R})$$

$$f(a, b, c) = \frac{a^2 b^2 \ln \frac{a^2}{b^2} + b^2 c^2 \ln \frac{b^2}{c^2} + c^2 a^2 \ln \frac{c^2}{a^2}}{(a^2 - b^2)(b^2 - c^2)(c^2 - a^2)}$$

Vector operators

$$\mathcal{O}_{V_1} = \bar{c}_L \gamma^\mu b_L \bar{\tau}_L \gamma_\mu \nu_L \quad \mathcal{O}_{V_2} = \bar{c}_R \gamma^\mu b_R \bar{\tau}_L \gamma_\mu \nu_L$$

$$\bar{B} \rightarrow D\tau\bar{\nu}$$

$$\langle D | \bar{c} \gamma^\mu \gamma^5 b | \bar{B} \rangle = 0 \quad \rightarrow \quad \langle D\tau\bar{\nu} | \mathcal{O}_{V_1} | \bar{B} \rangle = \langle D\tau\bar{\nu} | \mathcal{O}_{V_2} | \bar{B} \rangle$$

$$\bar{B} \rightarrow D^* \tau\bar{\nu}$$

$$\langle D^* | \bar{c} \gamma^\mu \gamma^5 b | \bar{B} \rangle \gg \langle D^* | \bar{c} \gamma^\mu b | \bar{B} \rangle$$



$$\langle D^* \tau\bar{\nu} | \mathcal{O}_{V_1} | \bar{B} \rangle \sim - \langle D^* \tau\bar{\nu} | \mathcal{O}_{V_2} | \bar{B} \rangle$$

Scalar operators

$$\mathcal{O}_{S_1} = \bar{c}_L b_R \bar{\tau}_R \nu_L$$

$$\mathcal{O}_{S_2} = \bar{c}_R b_L \bar{\tau}_R \nu_L$$

$$\bar{B} \rightarrow D\tau\bar{\nu}$$

$$\langle D | \bar{c} \gamma^5 b | \bar{B} \rangle = 0$$

$$\rightarrow$$

$$\langle D\tau\bar{\nu} | \mathcal{O}_{S_1} | \bar{B} \rangle = \langle D\tau\bar{\nu} | \mathcal{O}_{S_2} | \bar{B} \rangle$$

$$\bar{B} \rightarrow D^* \tau\bar{\nu}$$

$$\langle D^* | \bar{c} b | \bar{B} \rangle = 0$$

$$\rightarrow$$

$$\langle D^* \tau\bar{\nu} | \mathcal{O}_{S_1} | \bar{B} \rangle = -\langle D^* \tau\bar{\nu} | \mathcal{O}_{S_2} | \bar{B} \rangle$$

Tau polarization is useful but,

- How is it measured ?
- Capability of new physics search ?

Identification of tau

τ in $B \rightarrow D\tau\bar{\nu}_\tau$ is identified by $\tau \rightarrow \pi\nu$ or $\tau \rightarrow l\nu\bar{\nu}$



$\tau \rightarrow \pi\nu : N \sim 70$

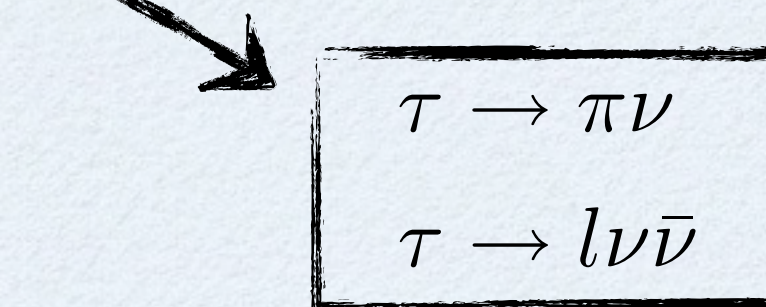
@B factory

$\tau \rightarrow l\nu\bar{\nu} : N \sim 100$

BABAR(2008), Belle (2009)

How to measure tau polarization

$$\frac{d\Gamma}{dq^2 dz}(\bar{B} \rightarrow D\tau\bar{\nu} \rightarrow \dots) = \frac{d\Gamma}{dq^2}(\bar{B} \rightarrow D\tau\bar{\nu}) \times \underline{F(\dots)}$$

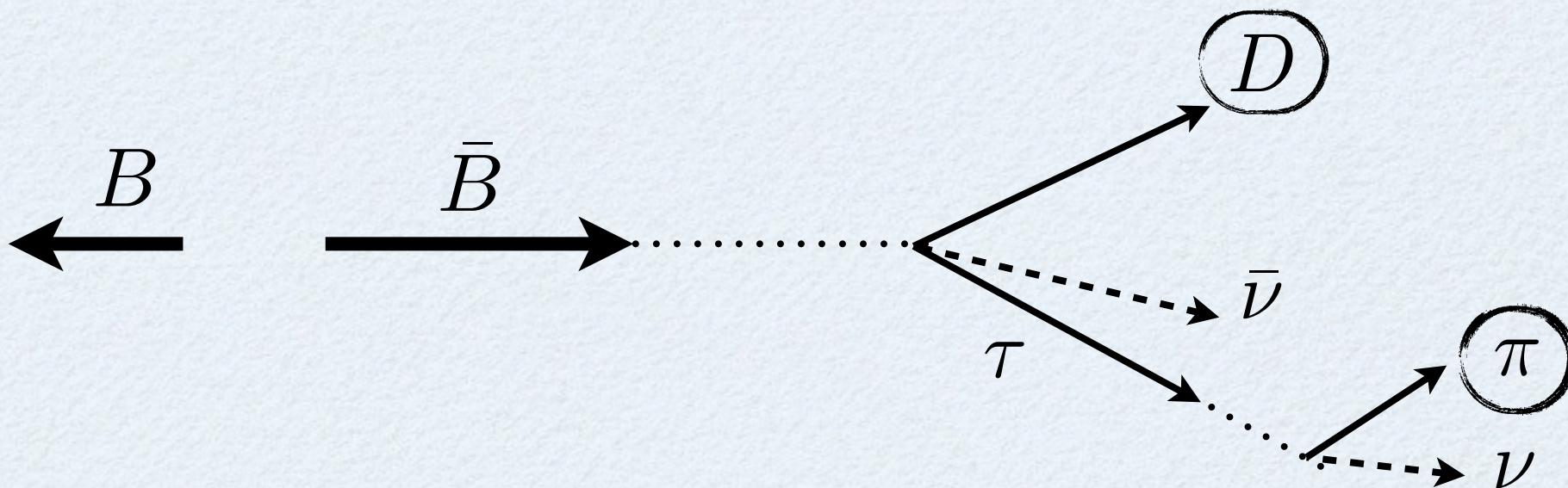


$$q^2 = (p_B - p_D)^2$$

$$z = \frac{E_{\pi(l)}}{E_\tau} \Rightarrow \boxed{\text{We know it in rest frame of } q^2}$$

$$\underline{F(\dots)} = Br(\dots) \left[f(z, q^2) + \boxed{P_\tau(q^2)} g(z, q^2) \right]$$

$$\int f(z, q^2) dz = 1, \quad \int g(z, q^2) dz = 0$$



- In rest frame of q^μ
- $p_{\bar{B}}^\mu, p_D^\mu \rightarrow q^2, E_\tau$
- $E_\tau, E_{\pi(l)} \rightarrow z$



Tau polarization can be determined by pion (or lepton) energy distribution of the decay rate of this chain.

Estimation of statistical error of tau polarization

$$\delta P_\tau = \frac{1}{S\sqrt{N}} \quad P_\tau = P_{\tau 0} \pm \delta P_\tau$$

N : # of event for $\bar{B} \rightarrow D\tau\bar{\nu} \rightarrow \dots$

$$N_{(\pi)} \sim 70, \quad N_{(l)} \sim 100 \quad \xleftarrow{\hspace{1cm}} \text{B factory}$$

$$N_{(\pi)} \sim 2000, \quad N_{(l)} \sim 3000 \quad \xleftarrow{\hspace{1cm}} \text{super B factory}$$

S : “sensitivity”

$$S^2 = \int dz \frac{g^2}{f + P_\tau g}$$



$$S_{(\pi)} \sim 0.6, \quad S_{(l)} \sim 0.2$$

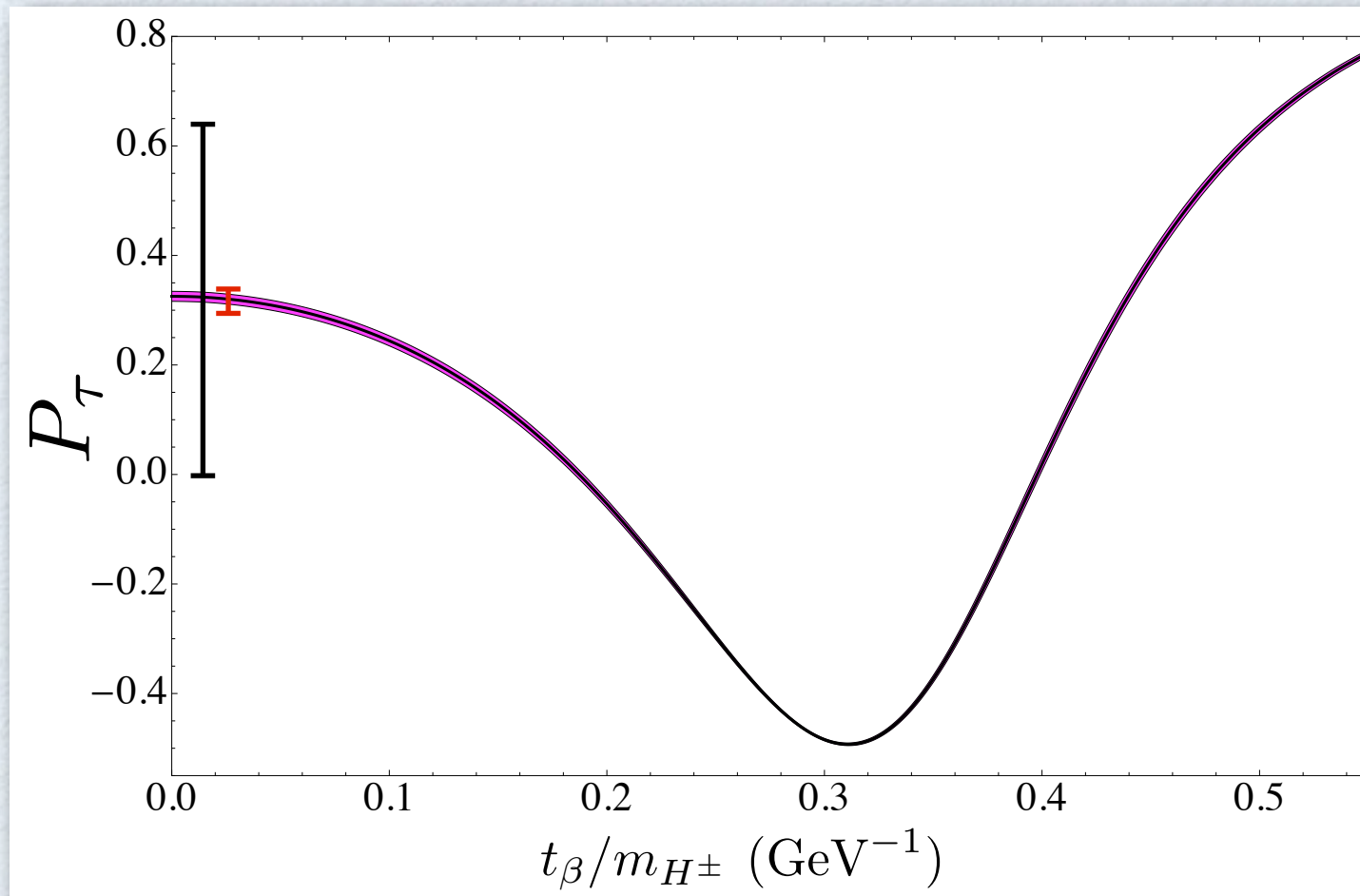
Estimation of statistical error of tau polarization

$$\delta P_\tau = \frac{1}{S\sqrt{N}} \quad P_\tau = P_{\tau 0} \pm \delta P_\tau$$

Super B factory :

$$\delta P_{\tau(\pi)} \sim 0.04, \delta P_{\tau(l)} \sim 0.08$$

We may see H^\pm effect



I : Error @ B factory

I : Error @ super B factory

Form Factors (Tensor)

$$\bar{B} \rightarrow D\tau\bar{\nu}$$

$$\langle D(p_D) | \bar{c}\sigma^{\mu\nu} b | \bar{B}(p_B) \rangle = iT(q^2)(p_B^\mu p_D^\nu - p_B^\nu p_D^\mu)$$

$$\langle D(p_D) | \bar{c}\sigma^{\mu\nu} \gamma^5 b | \bar{B}(p_B) \rangle = T(q^2)\epsilon^{\mu\nu\alpha\beta} p_{D\alpha} p_{B\beta}$$

$$\bar{B} \rightarrow D^*\tau\bar{\nu}$$

$$\begin{aligned} \langle D^*(p_D) | \bar{c}\sigma^{\mu\nu} b | \bar{B}(p) \rangle &= \epsilon^{\mu\nu\alpha\beta} [T_1 \varepsilon_\alpha^* p_{B\beta} \\ &\quad + T_2 \varepsilon_\alpha^* p_{D\beta} + T_3 (\varepsilon^* \cdot p_B) p_{B\alpha} p_{D\beta}] \end{aligned}$$

$$\langle D^*(p_D) | \bar{c}\sigma^{\mu\nu} \gamma^5 b | \bar{B}(p) \rangle = \dots$$

EOM

$$i\partial_\mu \left\{ \bar{c} [\gamma^\mu, \gamma^\nu] b \right\} = -2(m_b + m_c) \bar{c} \gamma^\nu b - 2(i\partial^\nu \bar{c}) b + 2\bar{c}(i\partial^\nu b)$$



$$T(q^2) = \frac{2\sqrt{r}}{q^2} \left\{ m_B^2 \frac{1-r}{m_b - m_c} (w+1) S_1(q^2) - \frac{m_b + m_c}{1+r} 2V_1(q^2) \right\}$$